

PRINCÍPIOS & FUNDAMENTOS

da Química Medicinal

PARTE 3

Eliezer J. Barreiro

Professor Titular

Universidade Federal do Rio de Janeiro



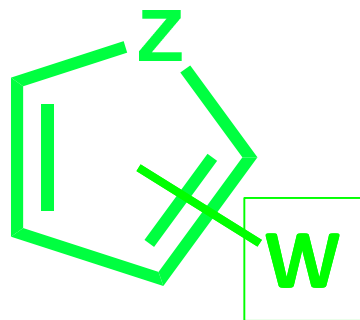
instituto de química
Universidade Federal do Rio de Janeiro



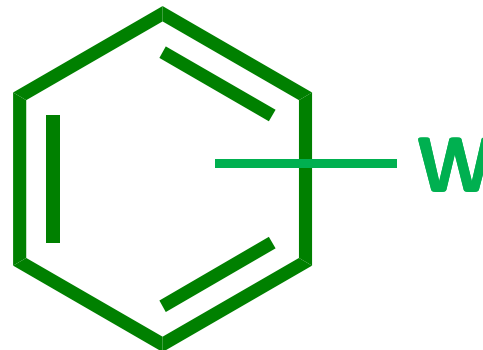


Os grupos funcionais mais frequentes nos fármacos

Universidade Federal do Rio de Janeiro



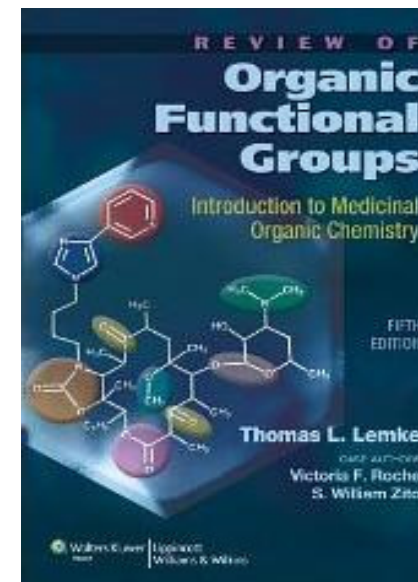
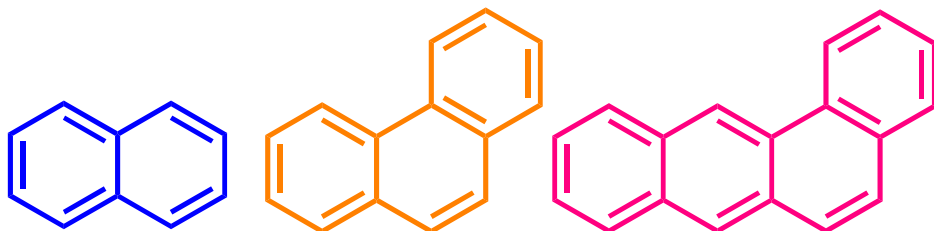
$Z = \text{NH}, \text{O}, \text{S}$



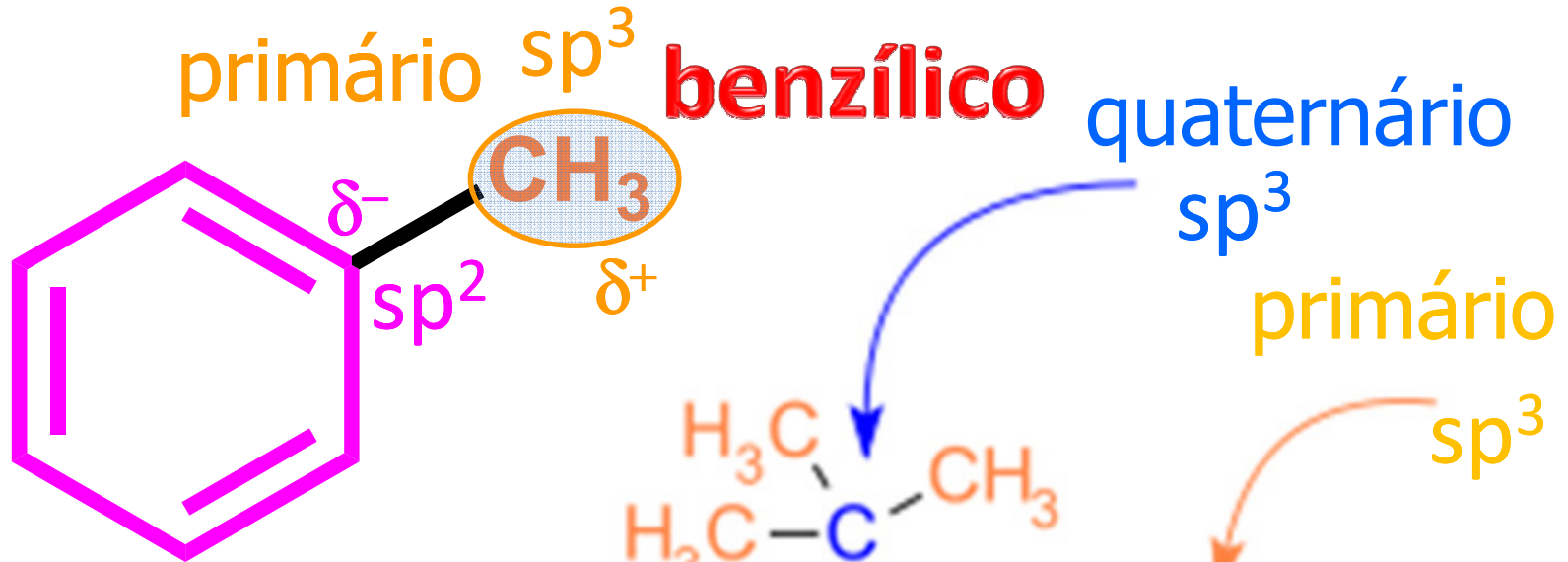
Propriedades eletrônicas

$X = \text{N}$

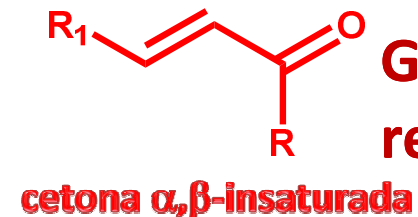
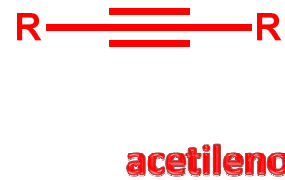
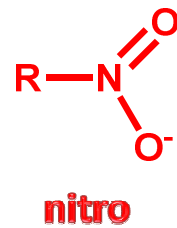
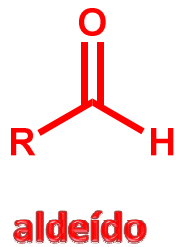
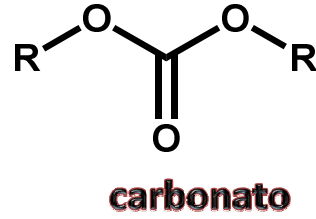
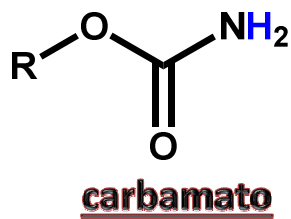
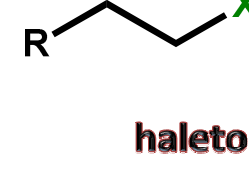
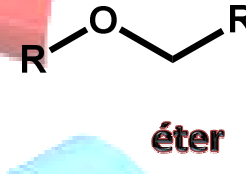
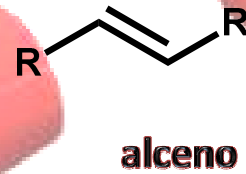
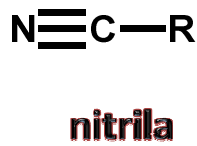
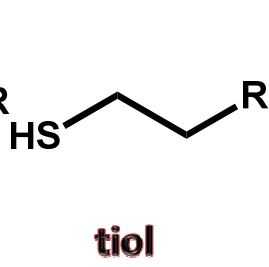
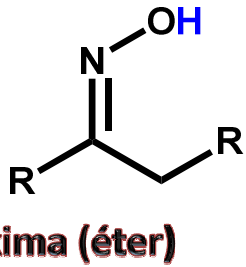
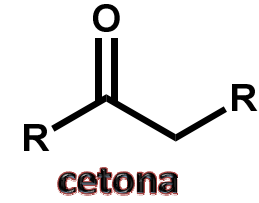
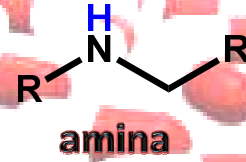
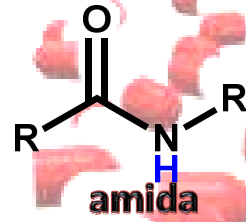
6, 10, 14, 18 π



50% do fármacos atuais
contêm pelo menos um
anel aromático, capaz de
poder sofrer substituições!



A reatividade química depende da polarização



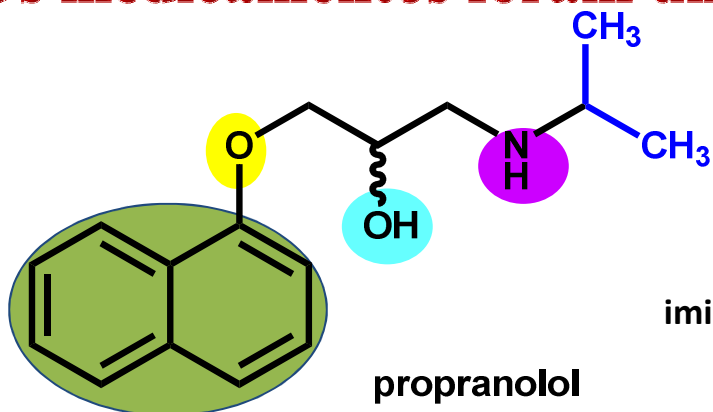
Grupos reativos



Universidade Federal do Rio de Janeiro

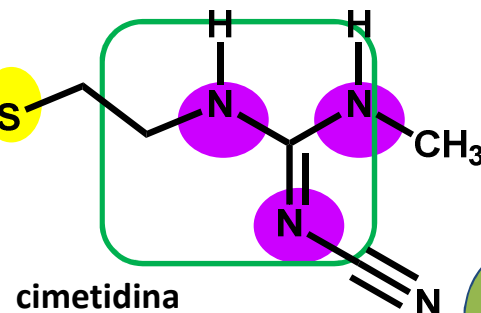
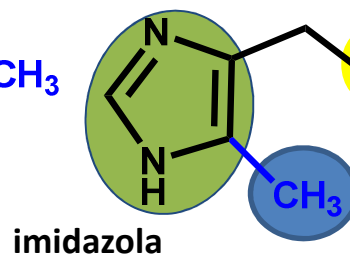
Os medicamentos foram uma das principais invenções do século 20

Química
med
Medicinal
chem

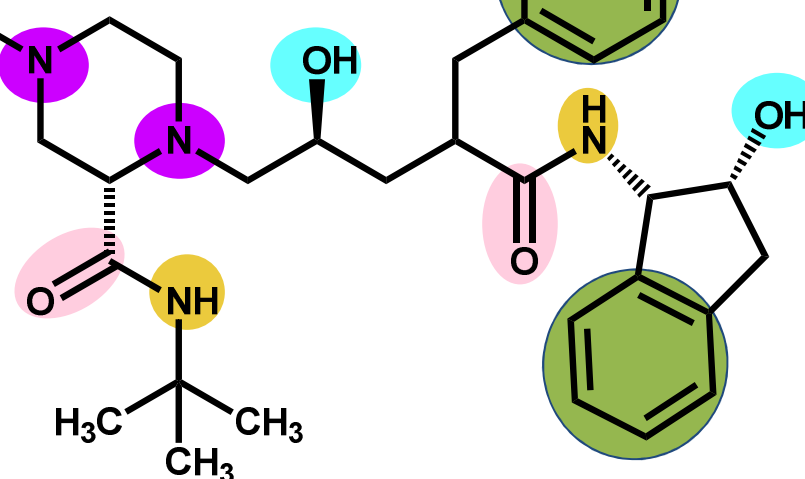


naftila

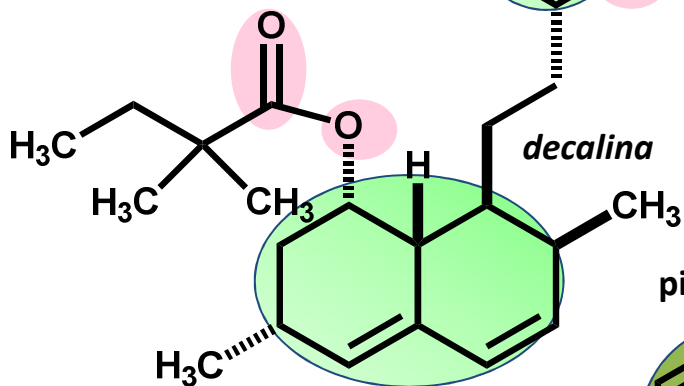
100%
cíclicos



fenila

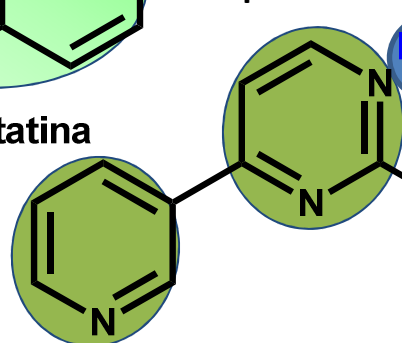


fenila

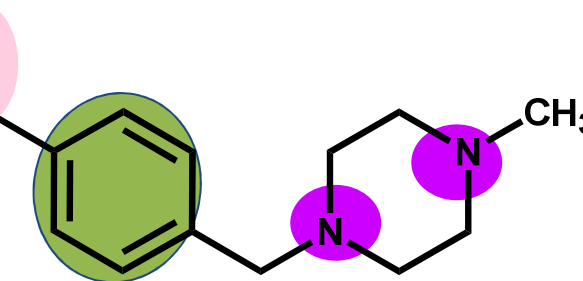


pirimidina

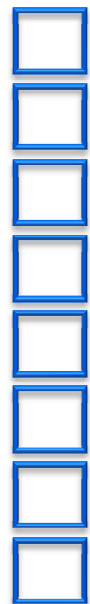
fenila

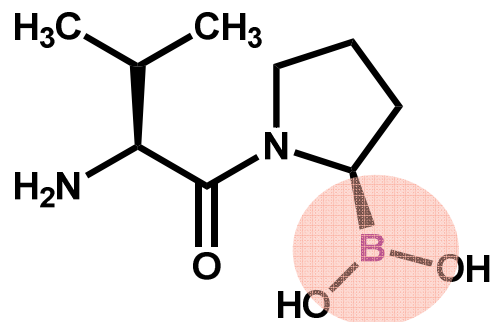


imatinibe



75%
possuem anel
aromático





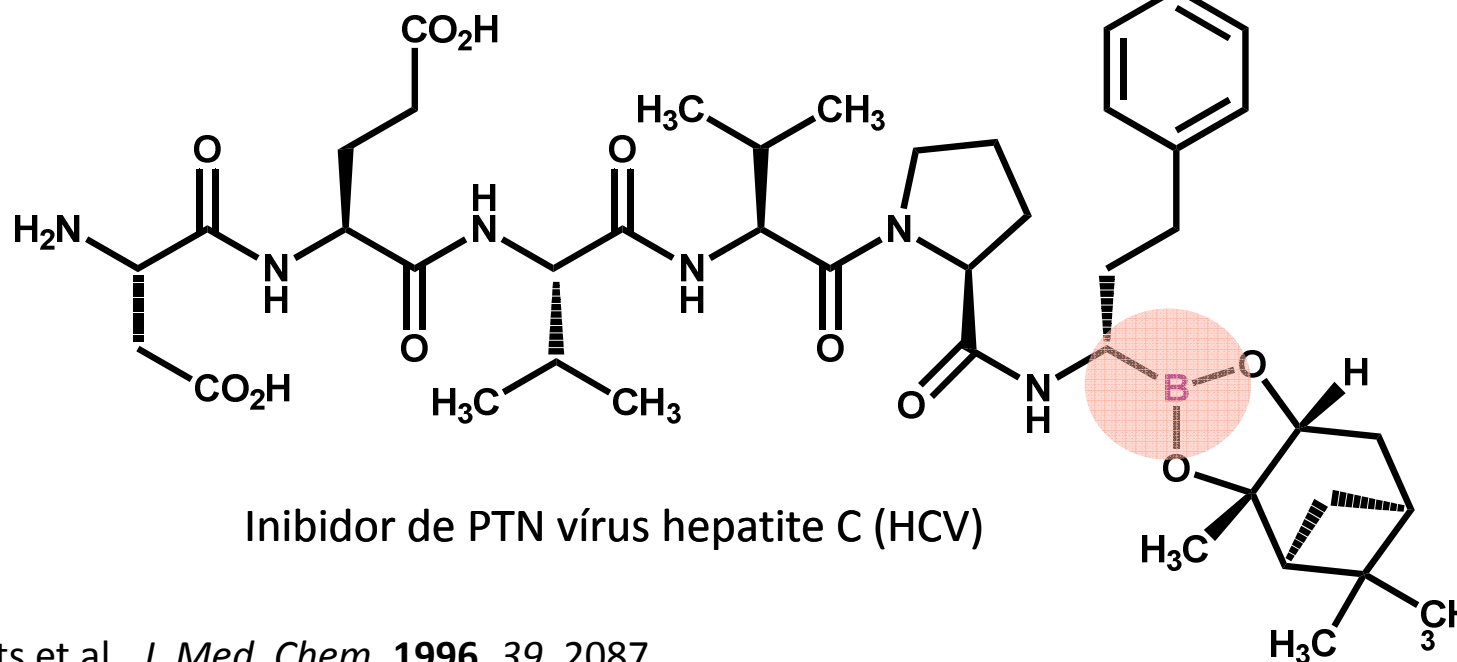
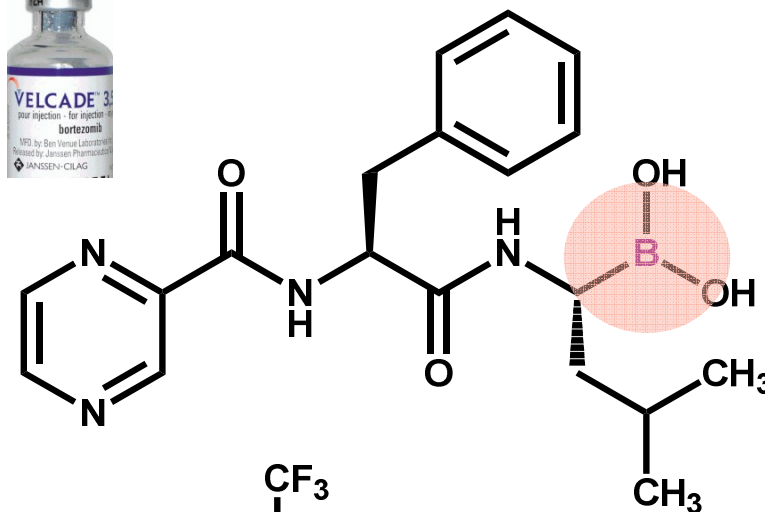
Inibidor de DPP-4
PHX-1147

Tufts Un & Boehringer Ingelheim



Bortezonibe

Janssen-Cilag
Velcade^R

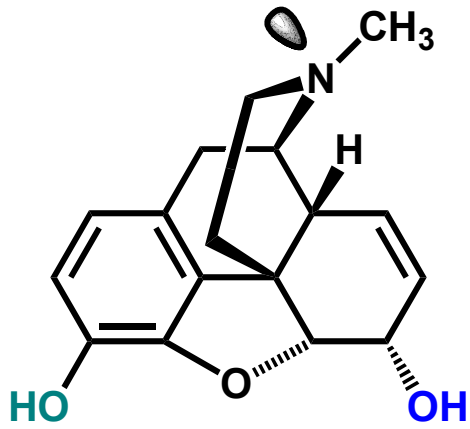


Inibidor de PTN vírus hepatite C (HCV)

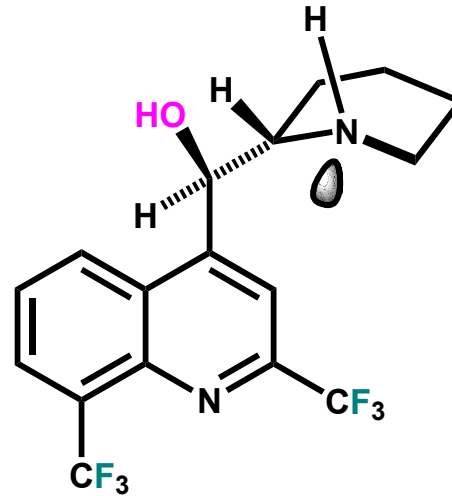
SJ Coutts et al., *J. Med. Chem.* **1996**, *39*, 2087

S J Baker et al, Therapeutic potential of boron-containing compounds, *Future Med Chem* **2009**, *1*, 1275

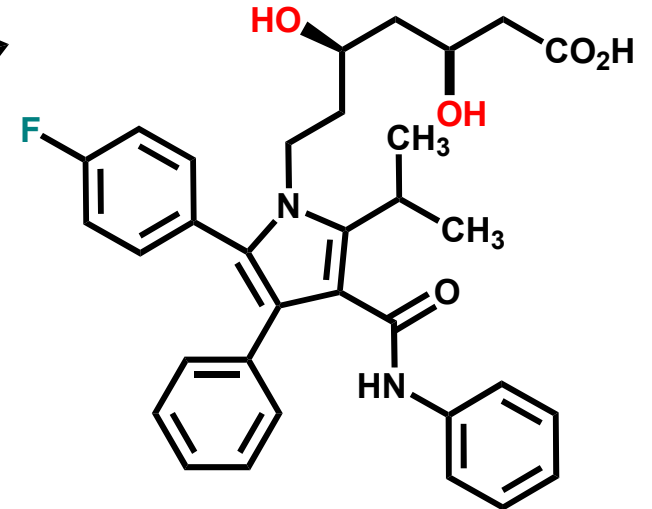
O quê têm em comum?



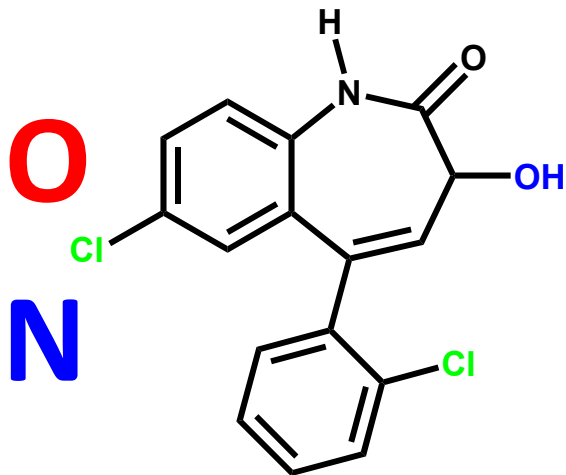
morfina
C₁₈H₂₁NO₃



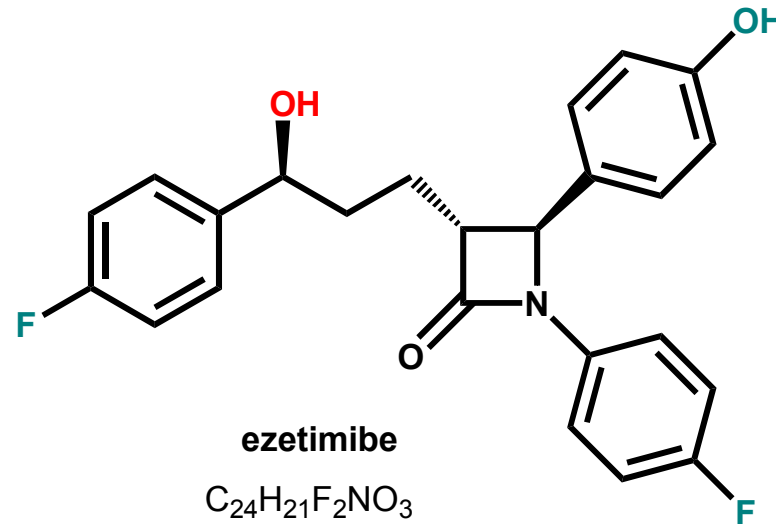
mefloquina
C₁₇H₁₆F₆N₂O



atorvastatina
C₃₃H₃₅FN₂O₅



lorazepan
C₁₆H₁₁Cl₂NO₂



ezetimibe
C₂₄H₂₁F₂NO₃

F

C

Cl

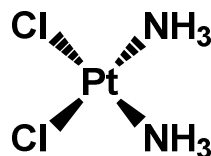
O

N

H



Para sua informação...

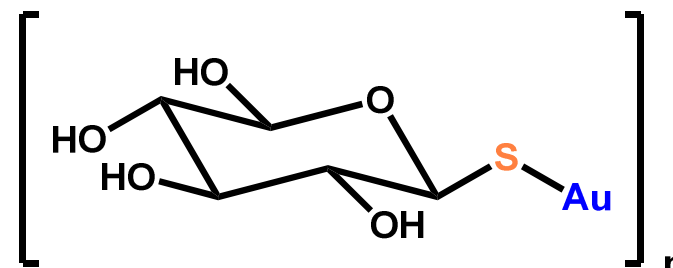


cisplatina

1978

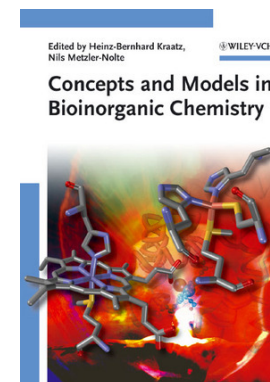
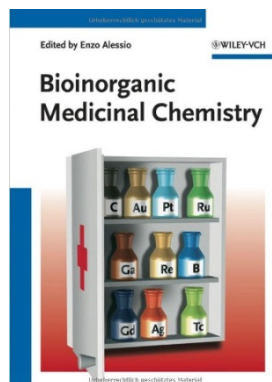
CDDP

E Wong, C M Giandomenico, Current Status of Platinum-Based Antitumor Drugs, *Chem Rev* **2009**, *99*, 2451



aurotioglucose

C. Frank Shaw III, Gold-Based Therapeutic Agents, *Chem Rev* **2009**, *99*, 2589



- E. Alessio, *Bioinorganic Medicinal Chemistry*, ed Wiley-VCH, Weinheim, 2011
- H-B Kraatz, N Metzler-Nolte, *Concepts and Models in Bioinorganic Chemistry*, Wiley-VCH, Weinheim, 2006

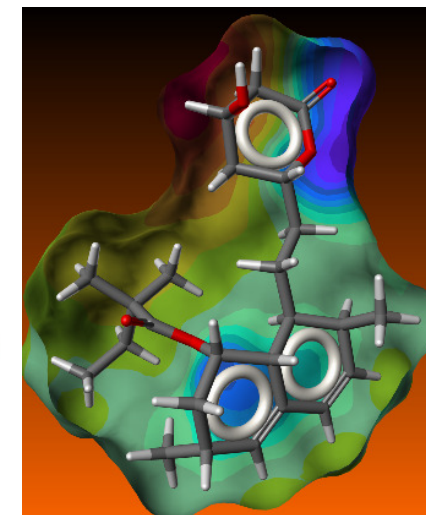
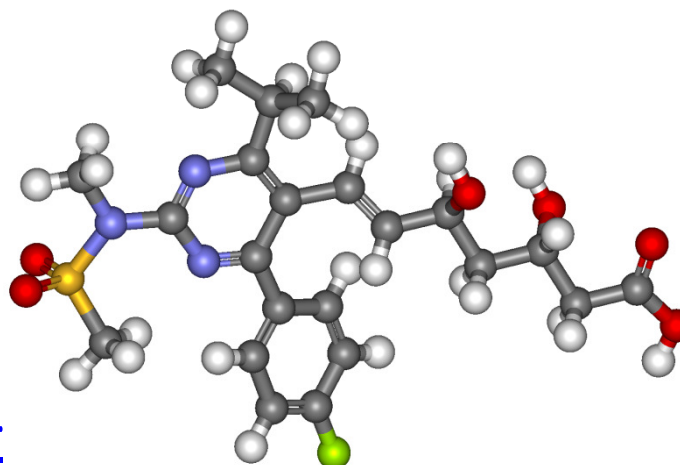
Freeware para estruturas químicas

- Isis Draw 2.5

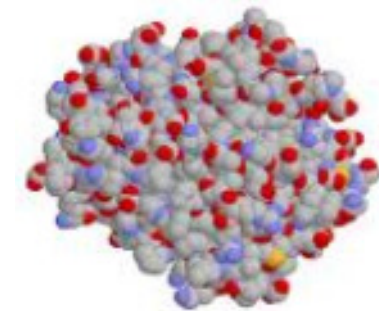
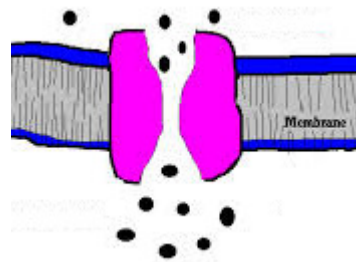
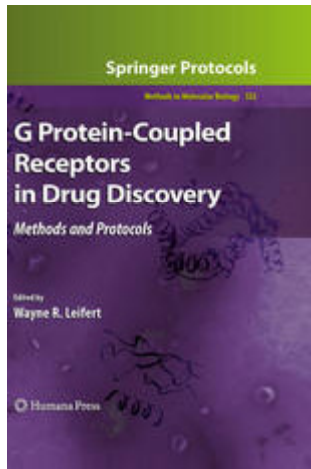
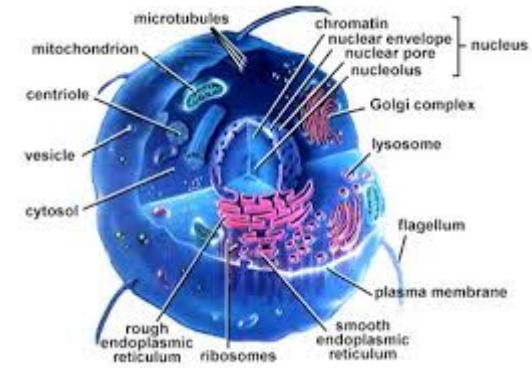
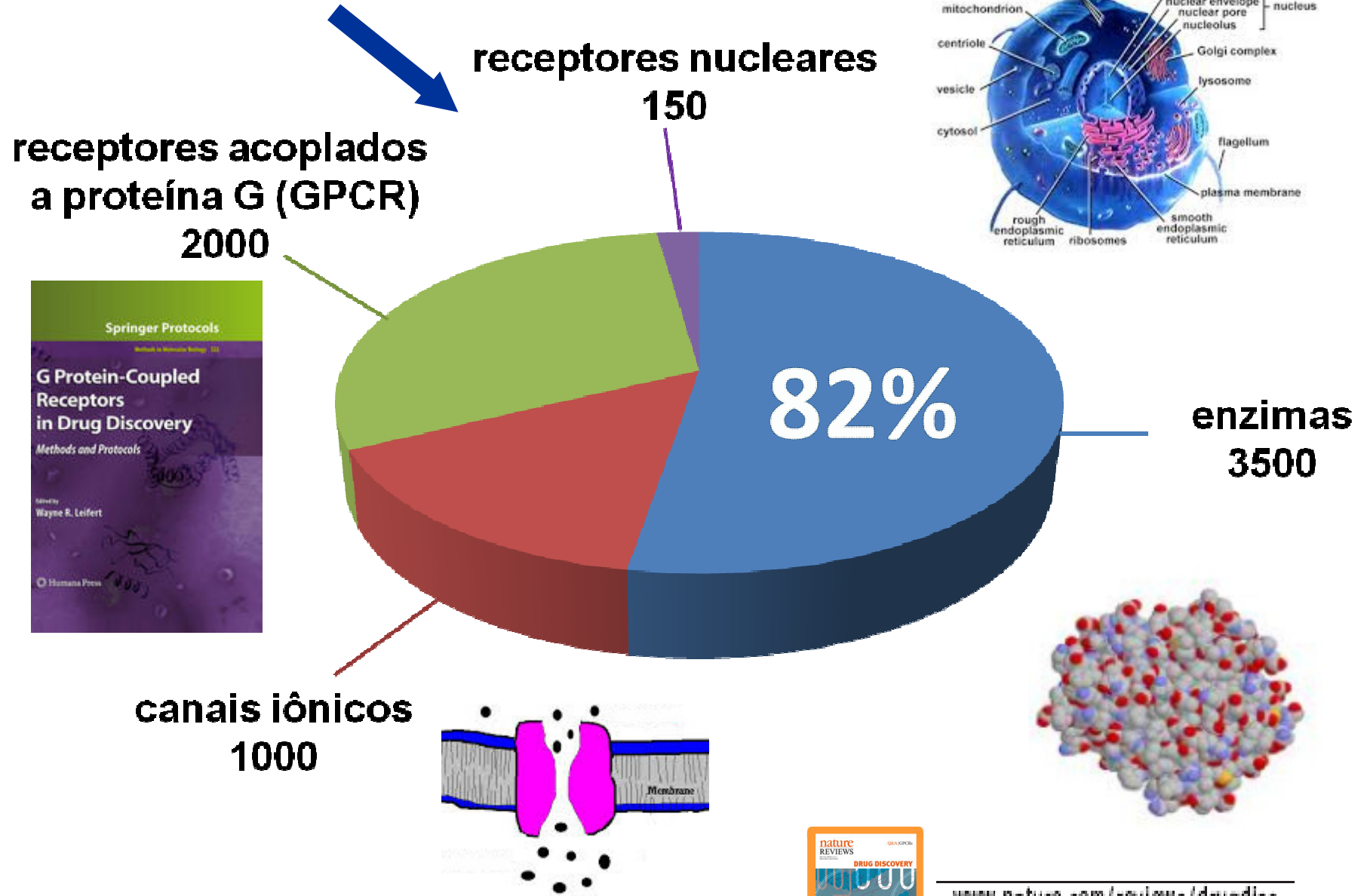
<http://www.lemon.com.br/produto.cfm?id=1956#download>

- www.pymol.org

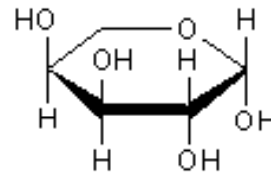
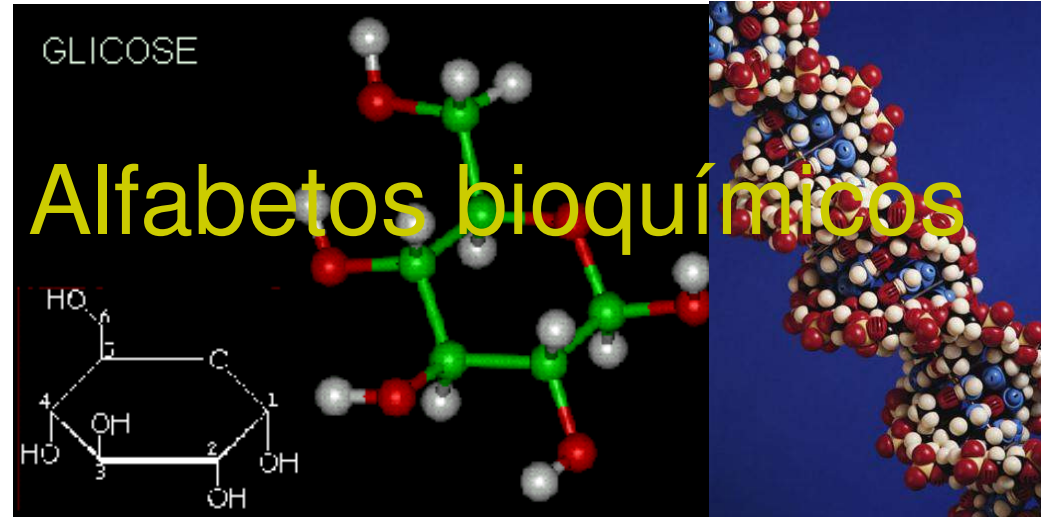
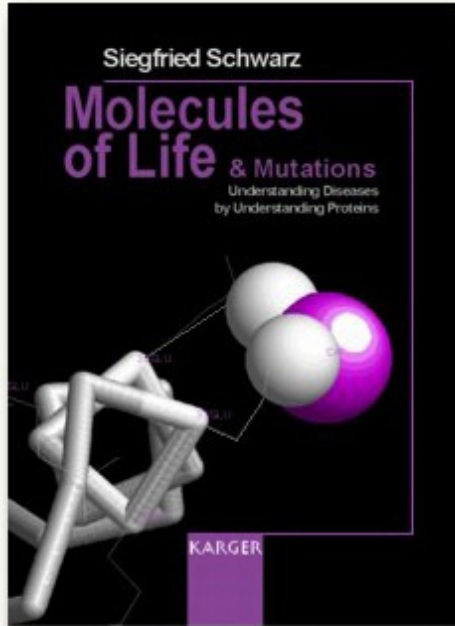
- <http://ciencia-em-si.webnode.pt/products/software-para-o-desenho-de-estruturas-quimicas/>



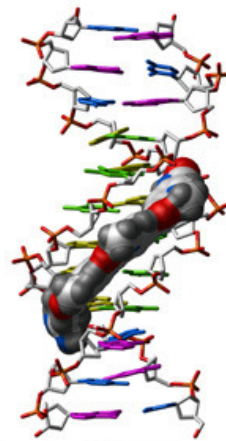
A maioria dos biorreceptores dos fármacos contemporâneos são enzimas ...



www.nature.com/reviews/drugdisc
 Hopkins, A. L. & Groom, C. R. The druggable genome. *Nature Rev. Drug Discov.* 1, 727-30 (2002).



β -L-Arabinose



Model Compound Bound to the Minor Groove of a DNA Molecule

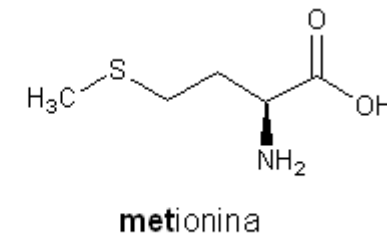
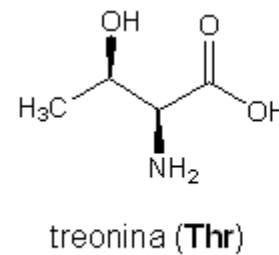
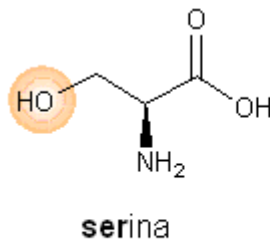
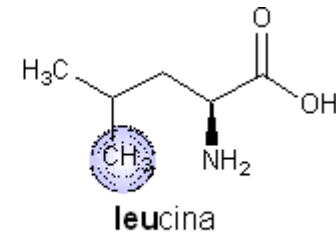
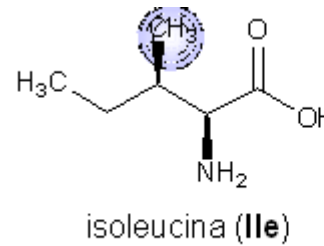
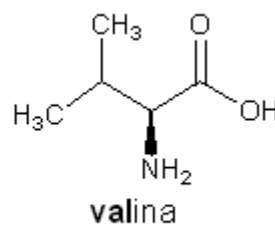
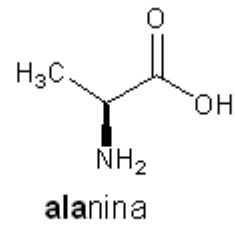
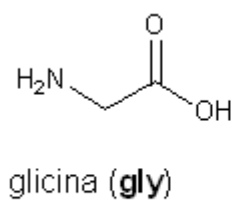
Carboídratos

Lipídeos

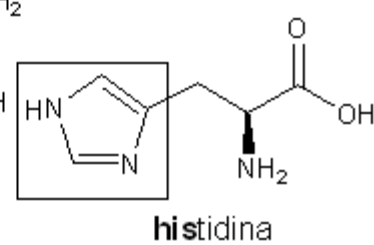
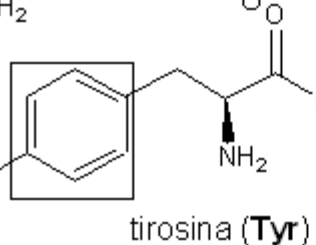
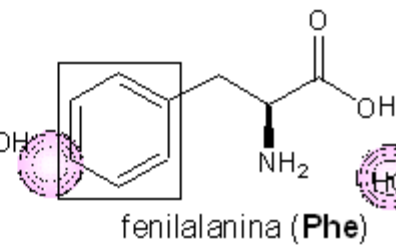
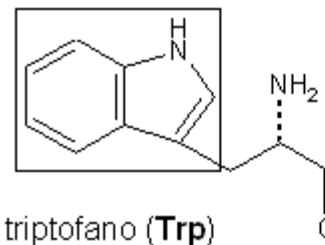
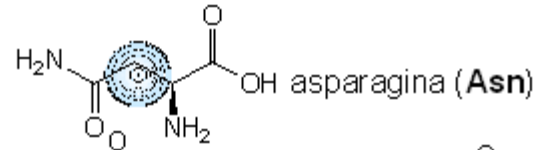
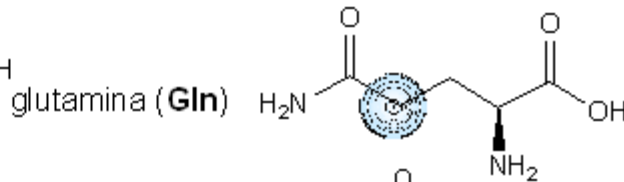
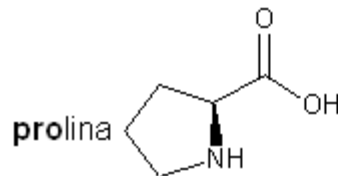
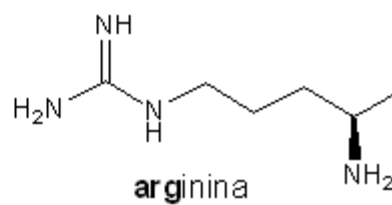
ácidos nucleícos

proteínas

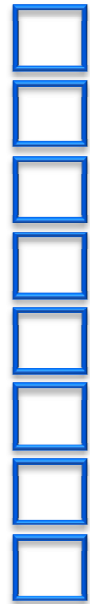
O "alfabeto" protéico ...



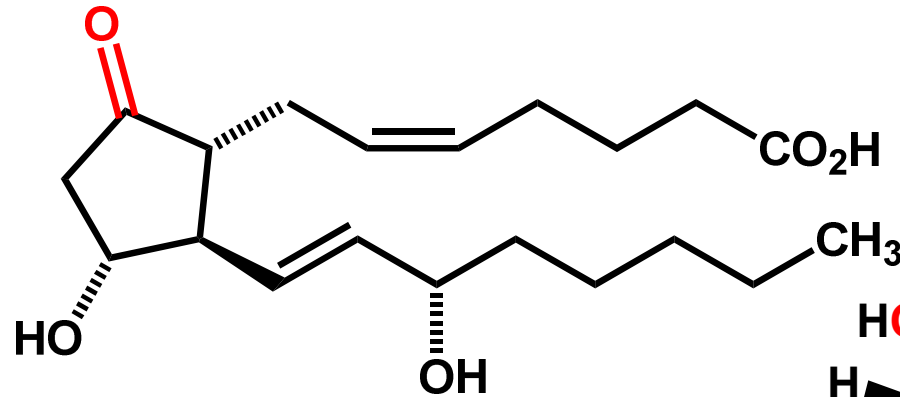
lisina (**Lys**)



Similaridade molecular

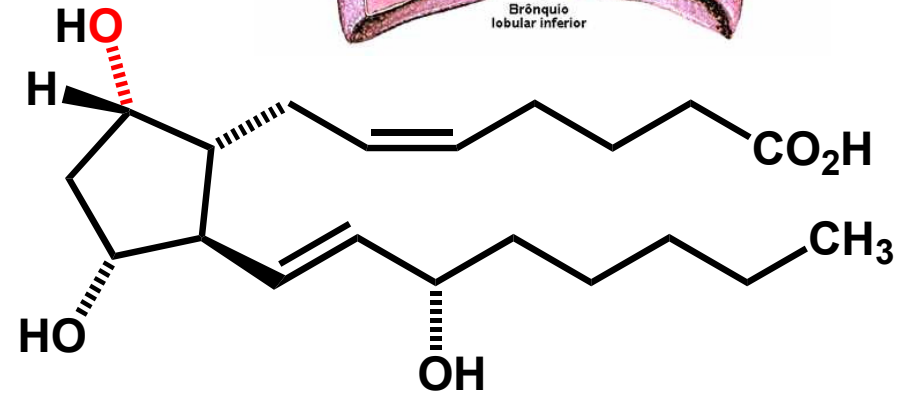
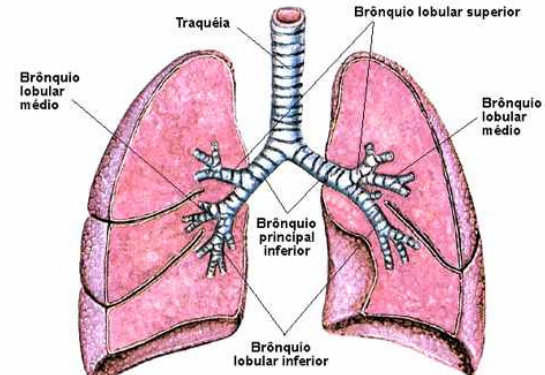


Similaridade Molecular



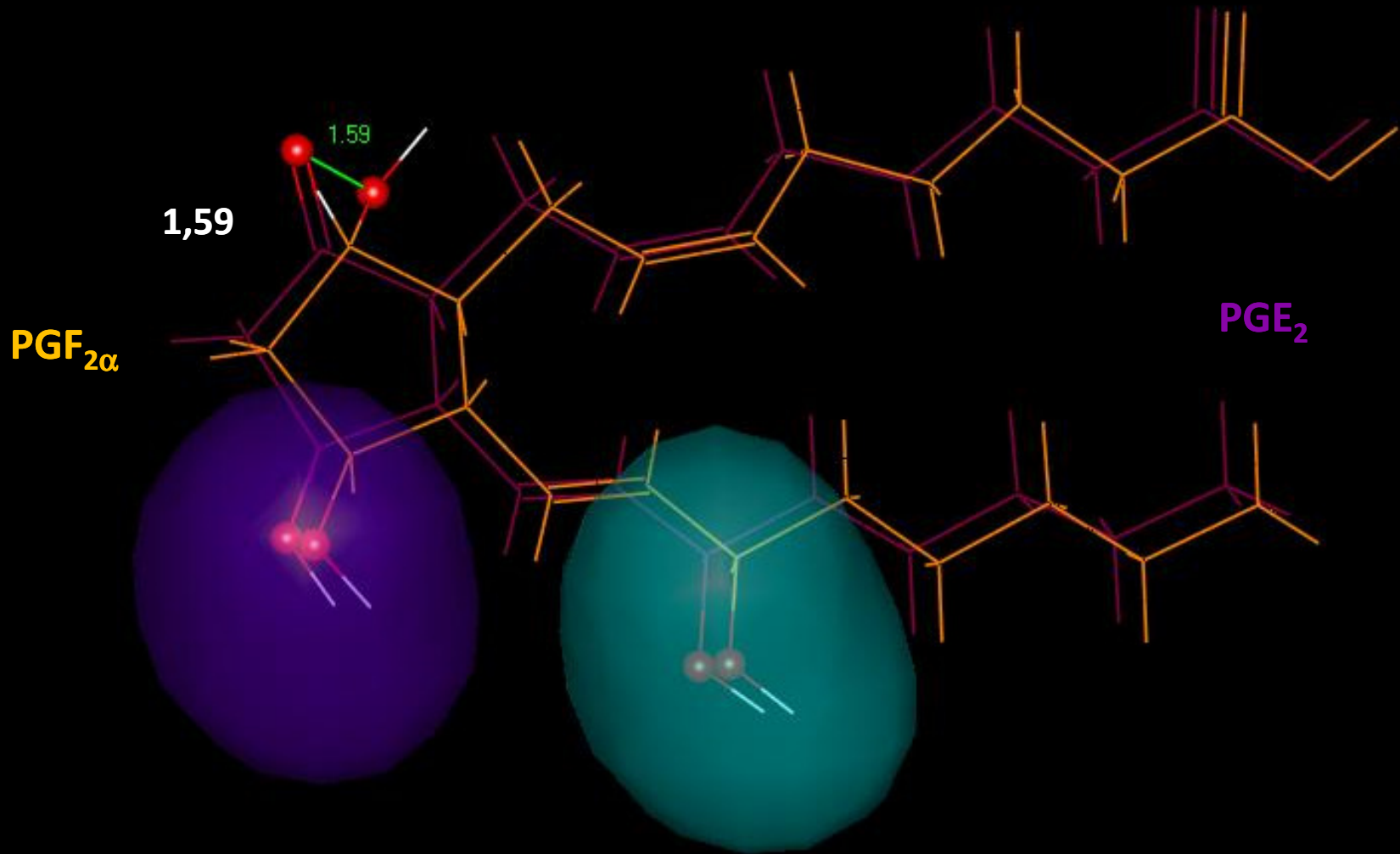
PGE₂

PGF_{2α} em cães provoca forte broncodilatação

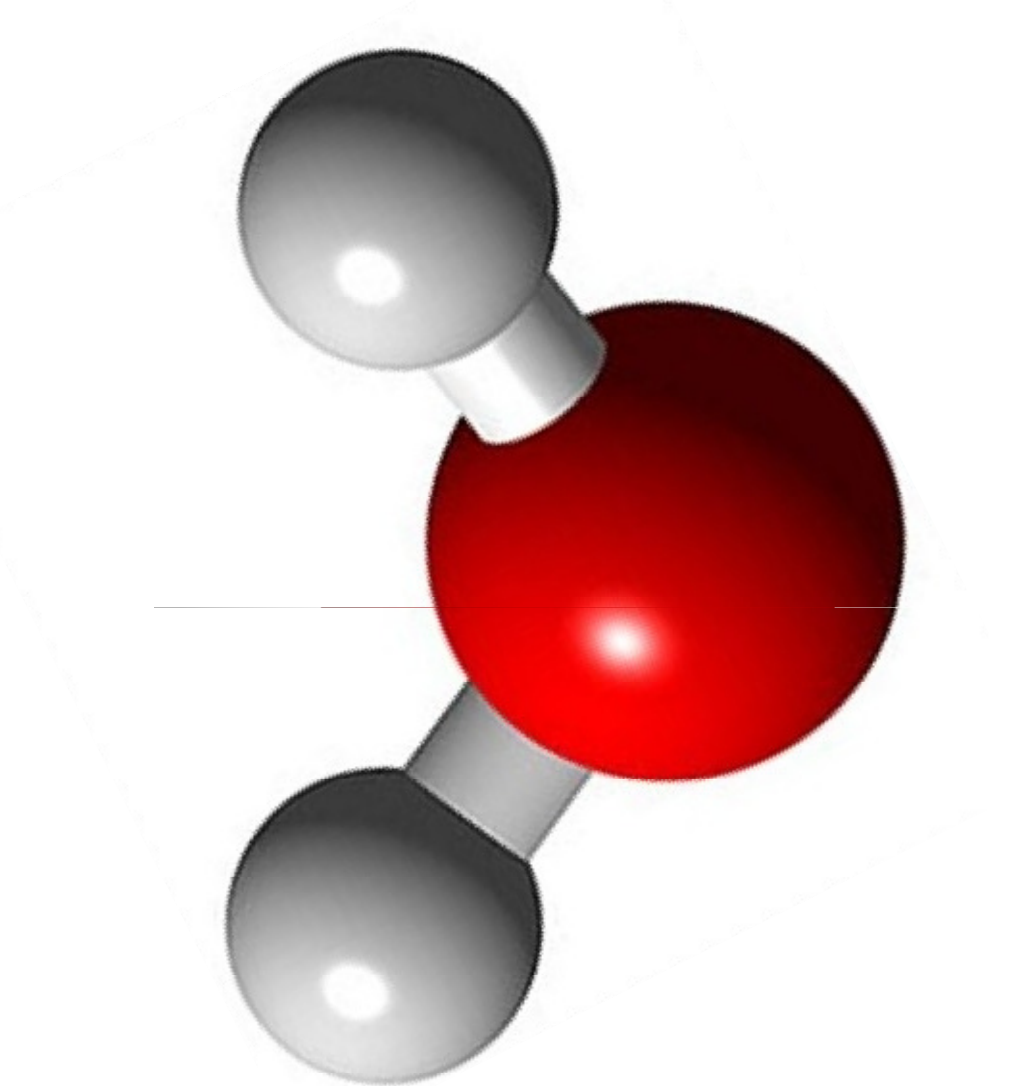


PGF_{2α}

PGF_{2α} em cães provoca severa broncoconstrição

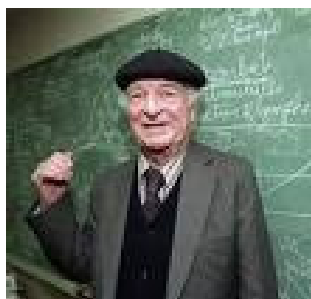
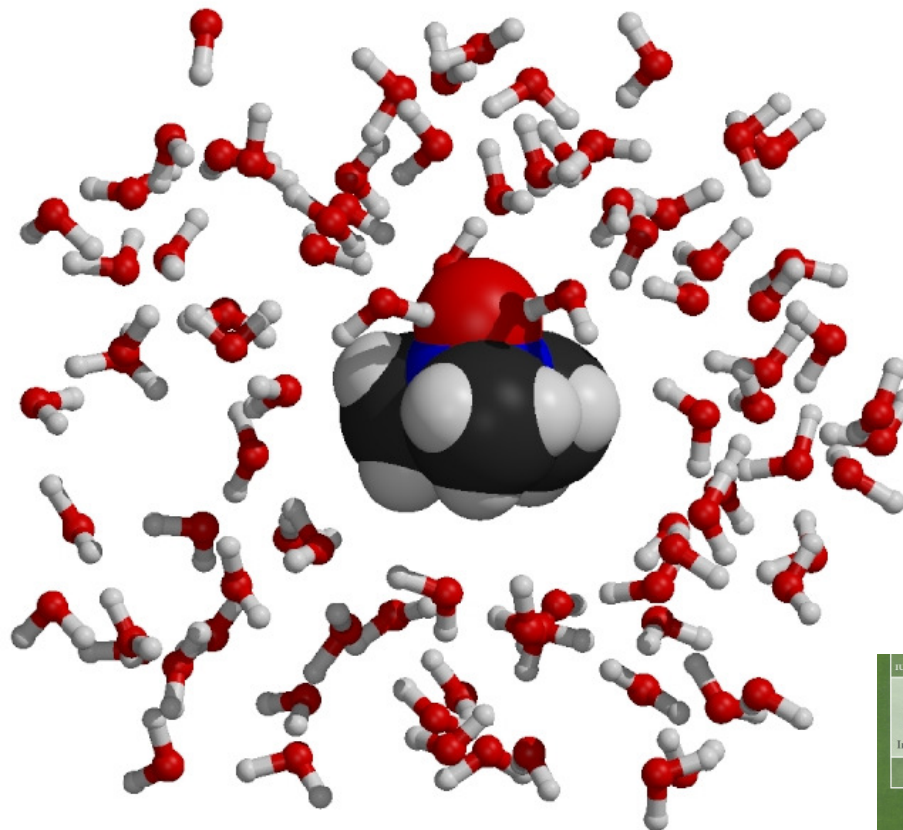
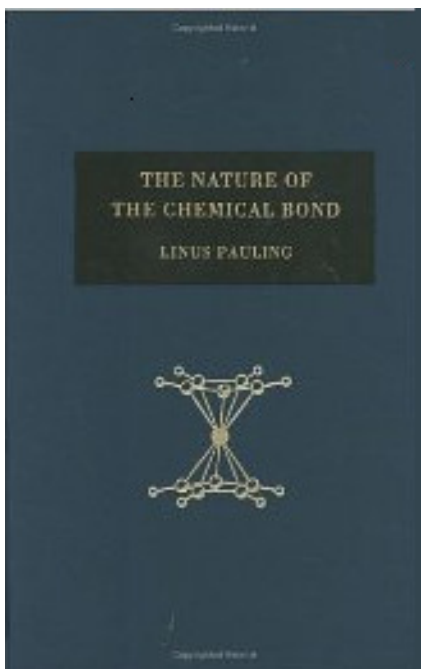


Pontos farmacofóricos



O que têm em comum?

A importância das “ligações” frágeis...

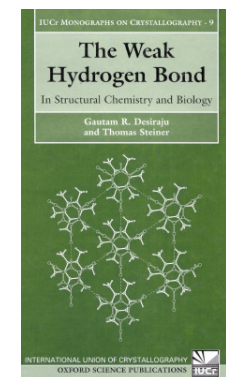


Linus C. Pauling
1901-1994

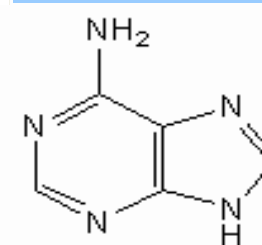
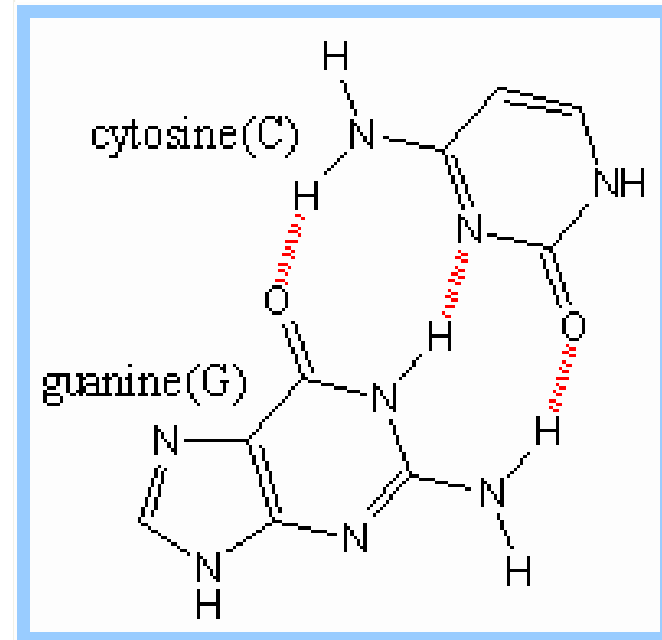
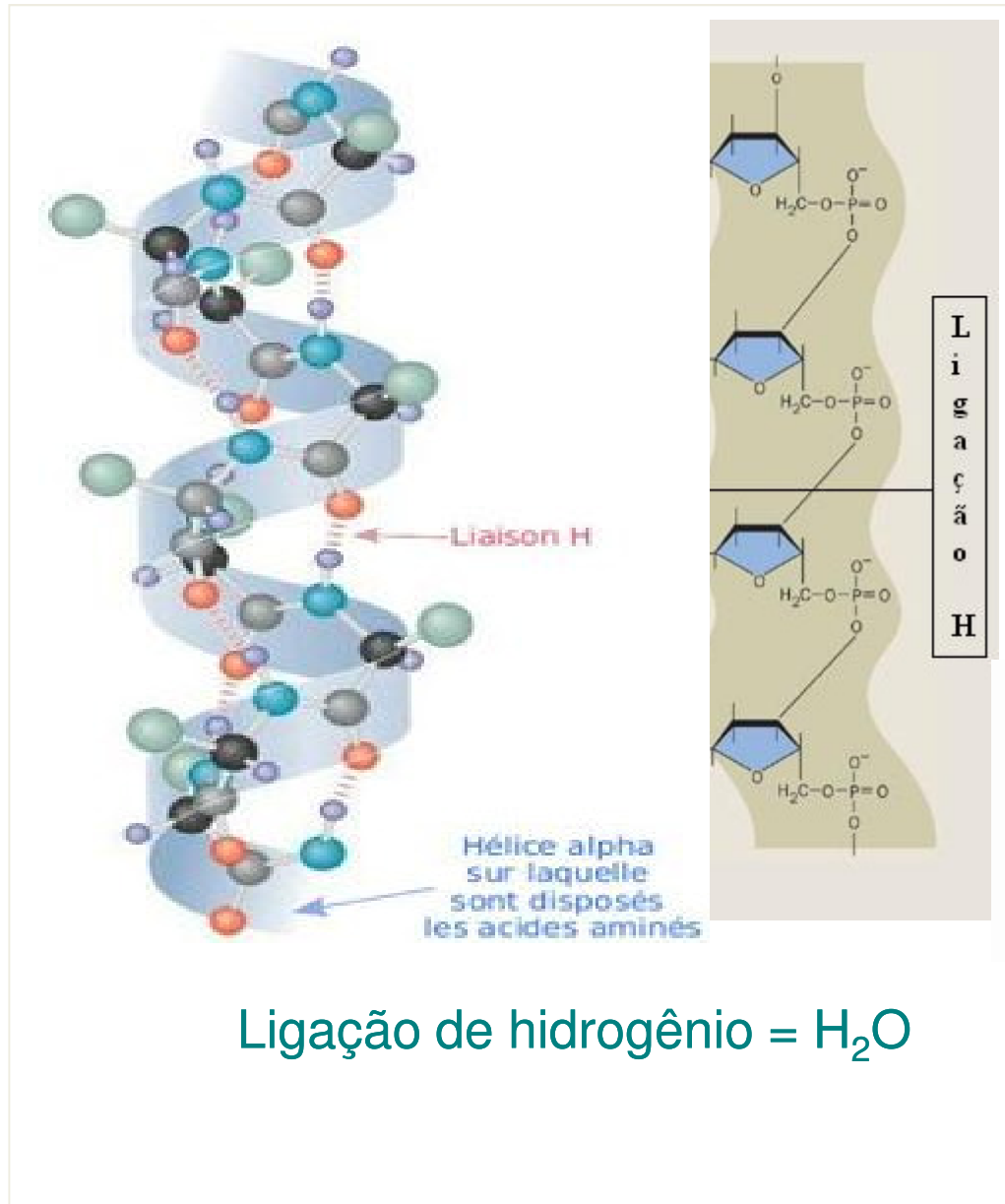
1954, 1962



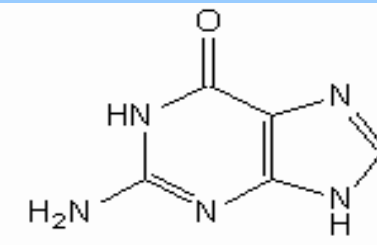
“ligações”
de hidrogênio ...



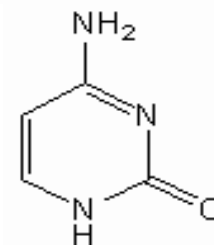
Proteínas, carboidratos, DNA, lipídeos, canais iônicos



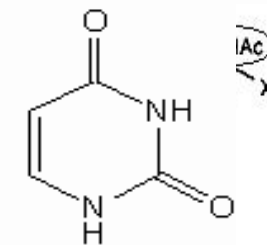
adenine (A)



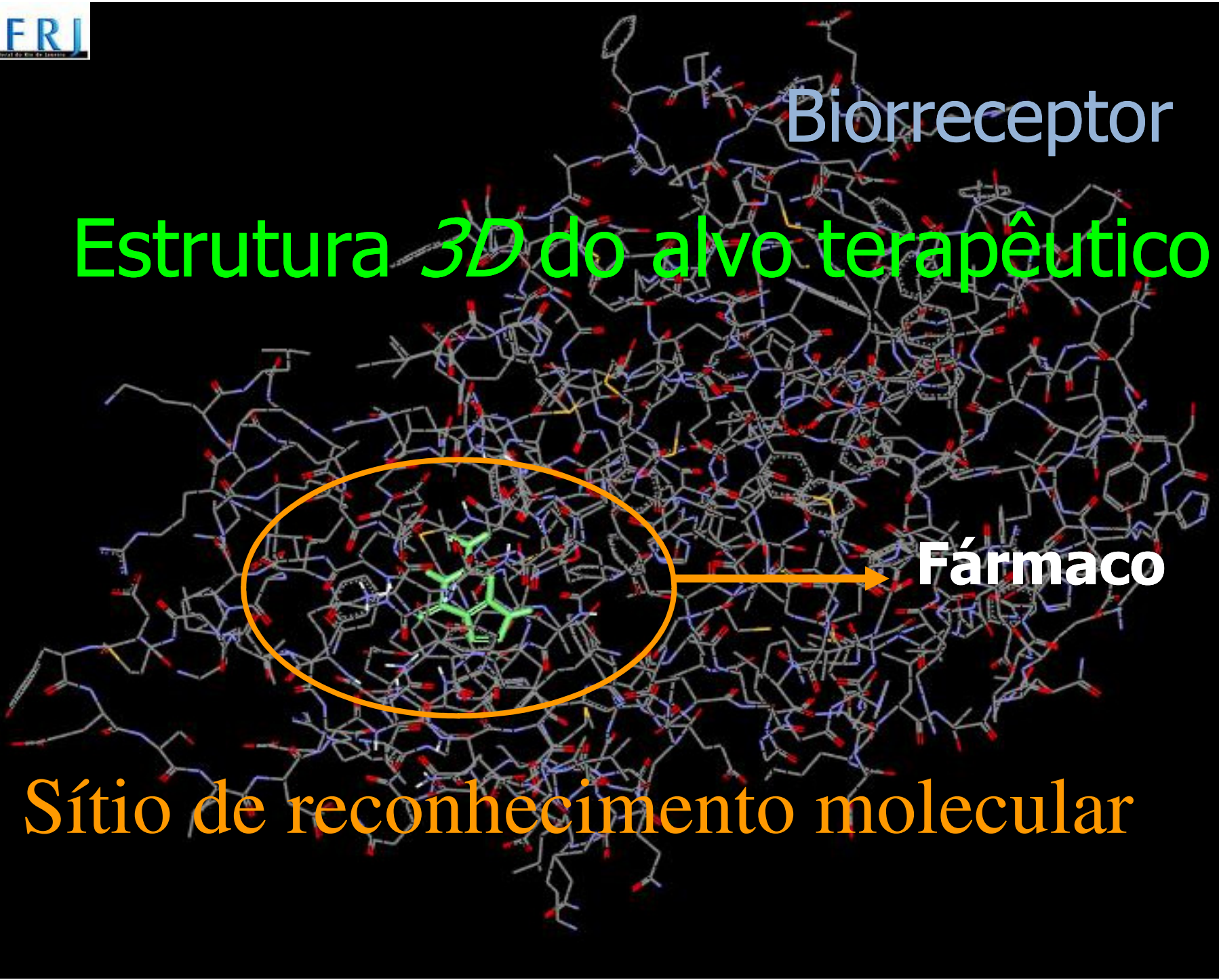
guanine (G)



cytosine (C)



uracil (U)

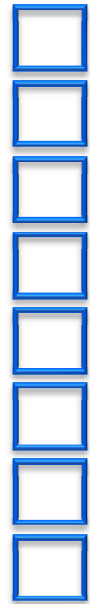


Biorreceptor

Estrutura 3D do alvo terapêutico

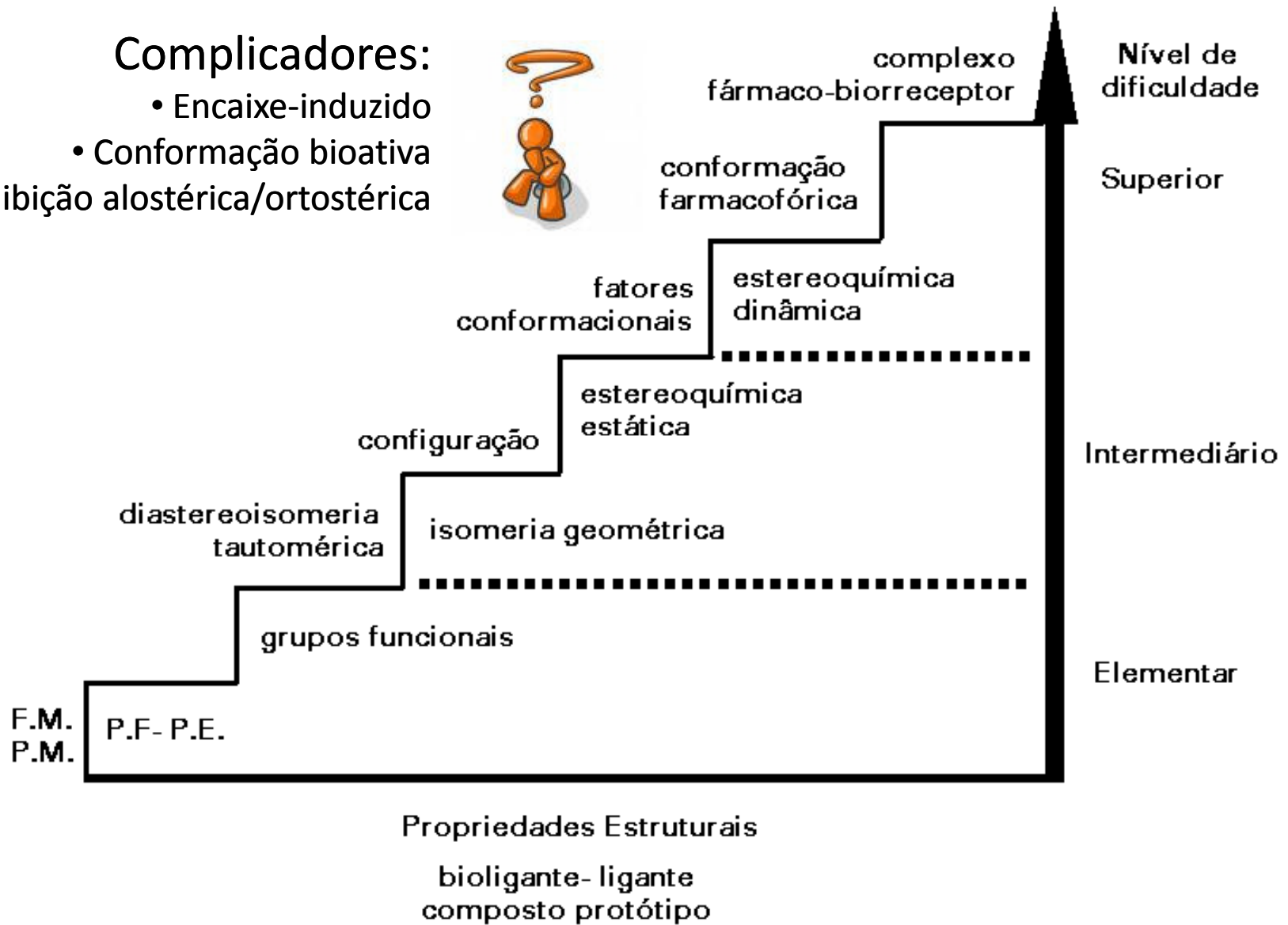
Fármaco

Sítio de reconhecimento molecular

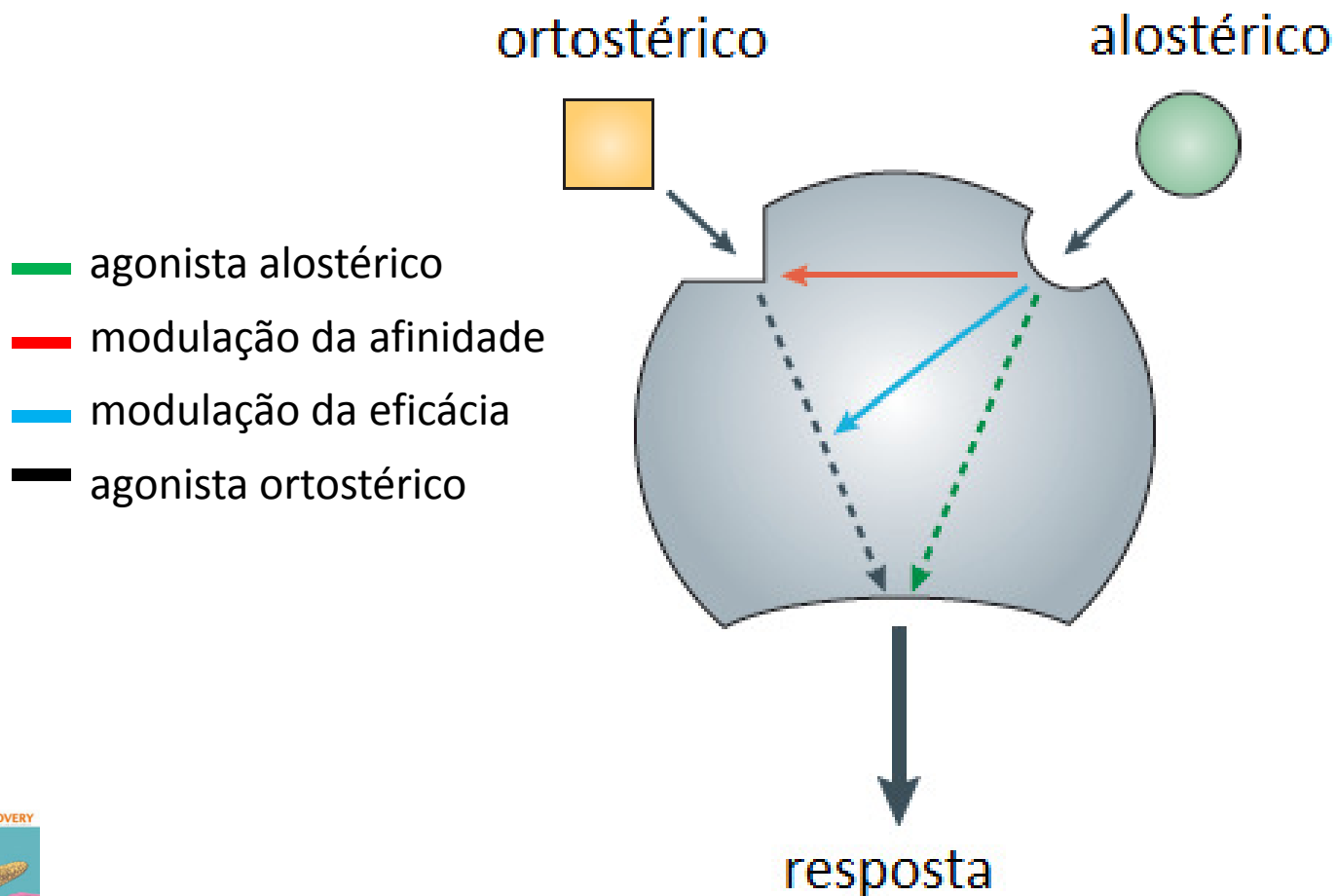


Nível hierárquico da descrição da complementaridade F-R

- Complicadores:**
- Encaixe-induzido
 - Conformação bioativa
 - Inibição alostérica/ortostérica



O desenho de novos candidatos a fármacos alostéricos é um desafio!



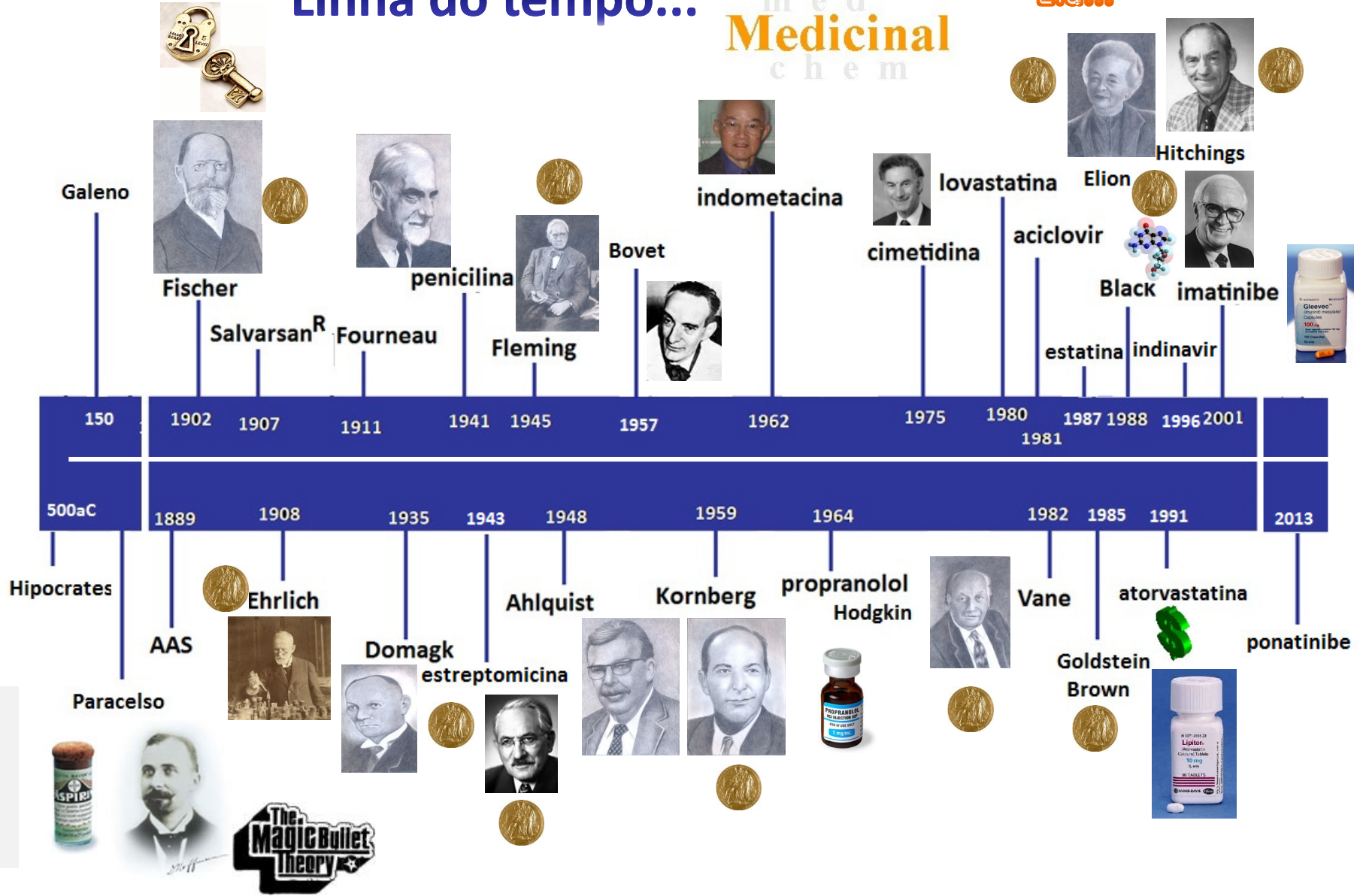


O desenho de novas
moléculas
candidatas a fármacos
é um processo
complexo !

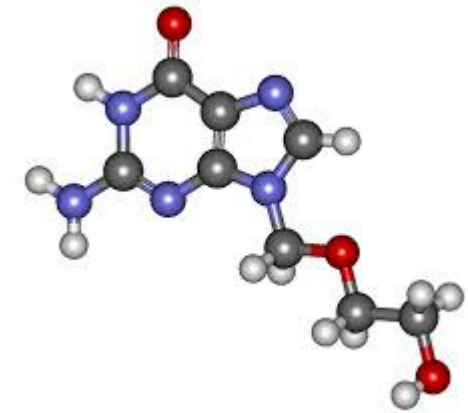
Química Medicinal

Linea do tempo...

Ela...



Gênese do aciclovir



George Hitchings (1905 - 1998) and Gertrude Elion (1918 - 1999)

Burroughs Wellcome
(atual GSK)

6-mercaptopurina,
azatioprina,
alopurinol, trimetoprim,
nelarabina



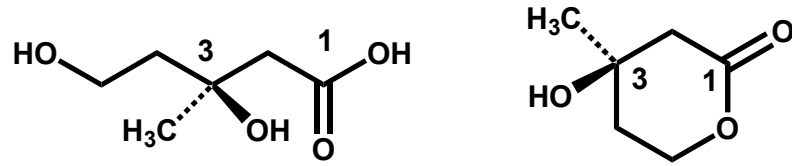
Gertrude B Elion
(1918-1999)



1988

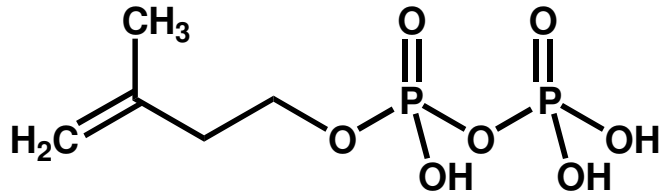
M E Avery, Gertrude Belle Elion, 23 January 1918 - 21 February 1999, *Biographical Memoirs of Fellows of the Royal Society* 2008, 54, 161-168.

Biossíntese do colesterol

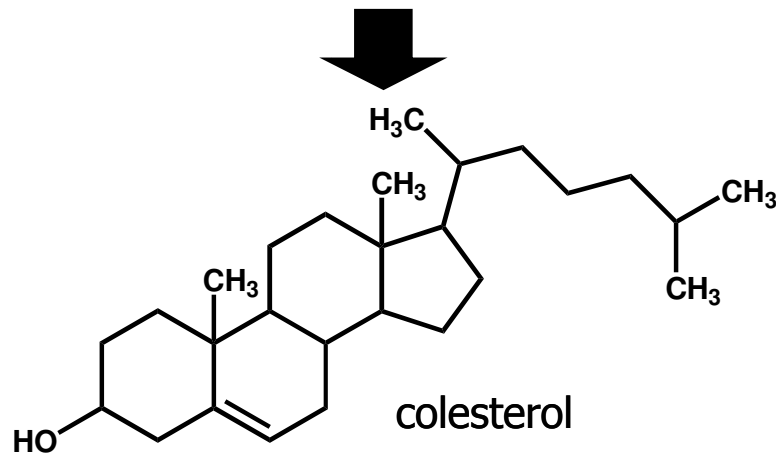


ácido mevalônico

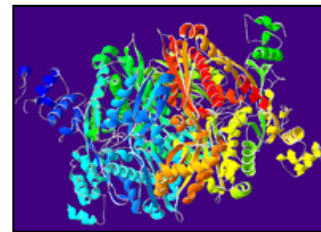
mevalolactona



pirofosfato de isopentenila



colesterol



HMG-CoA reductase



LDL

1985

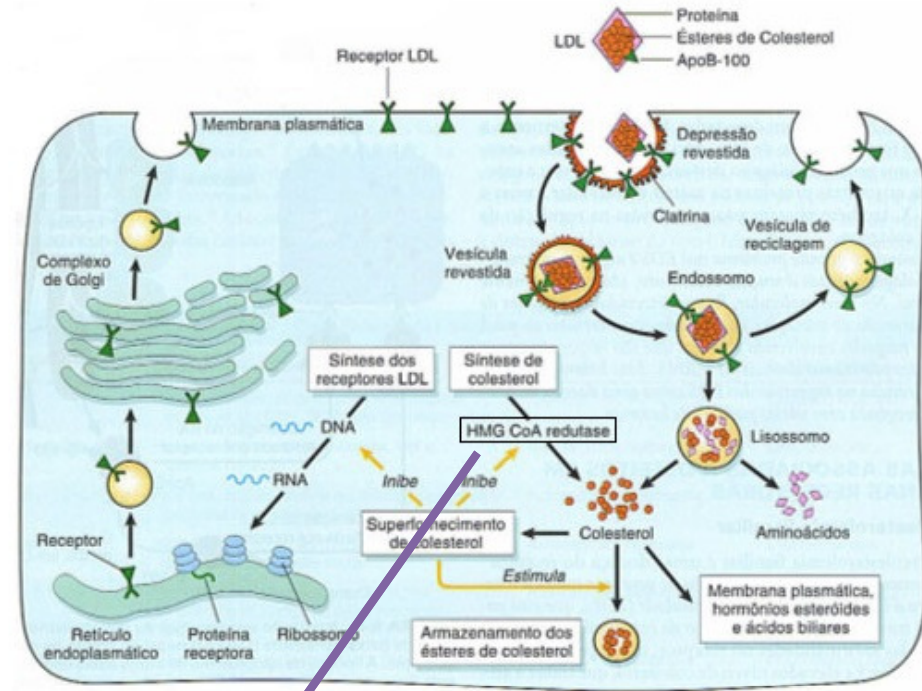


JL Goldstein



MS Brown

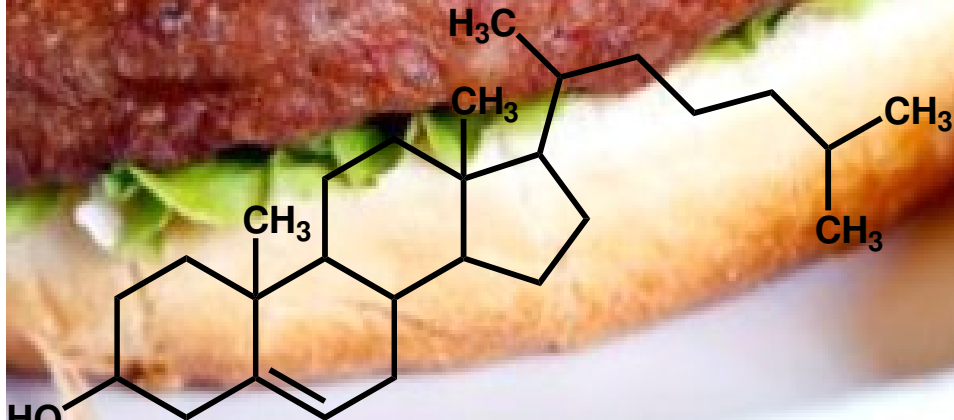
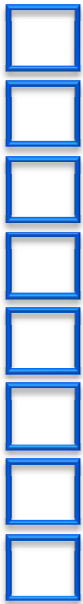
University of Texas, Dallas



JL Goldstein, MS Brown, History of Discovery: The LDL Receptor, *Arterioscler. Thromb. Vasc. Biol.* **2009**, 29, 431-438;
 MS Brown, JL Goldstein, A receptor-mediated pathway for cholesterol homeostasis, *Science* **1986**, 232, 34-47;
 JL Goldstein, MS Brown, A Golden Era of Nobel Laureates, *Science* **2012**, 338, 1033-1034



Universidade Federal do Rio de Janeiro





Akira Endo, Sankyo Co

1975 – Mevastatina (ML-263b) Protótipo natural

A.Endo, *J. Med. Chem.* **1985**, 28, 1; idem, *Proc Jpn Acad SerB* **2010**, 86, 484

Metabólito de Fungo

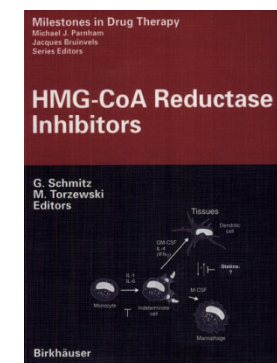
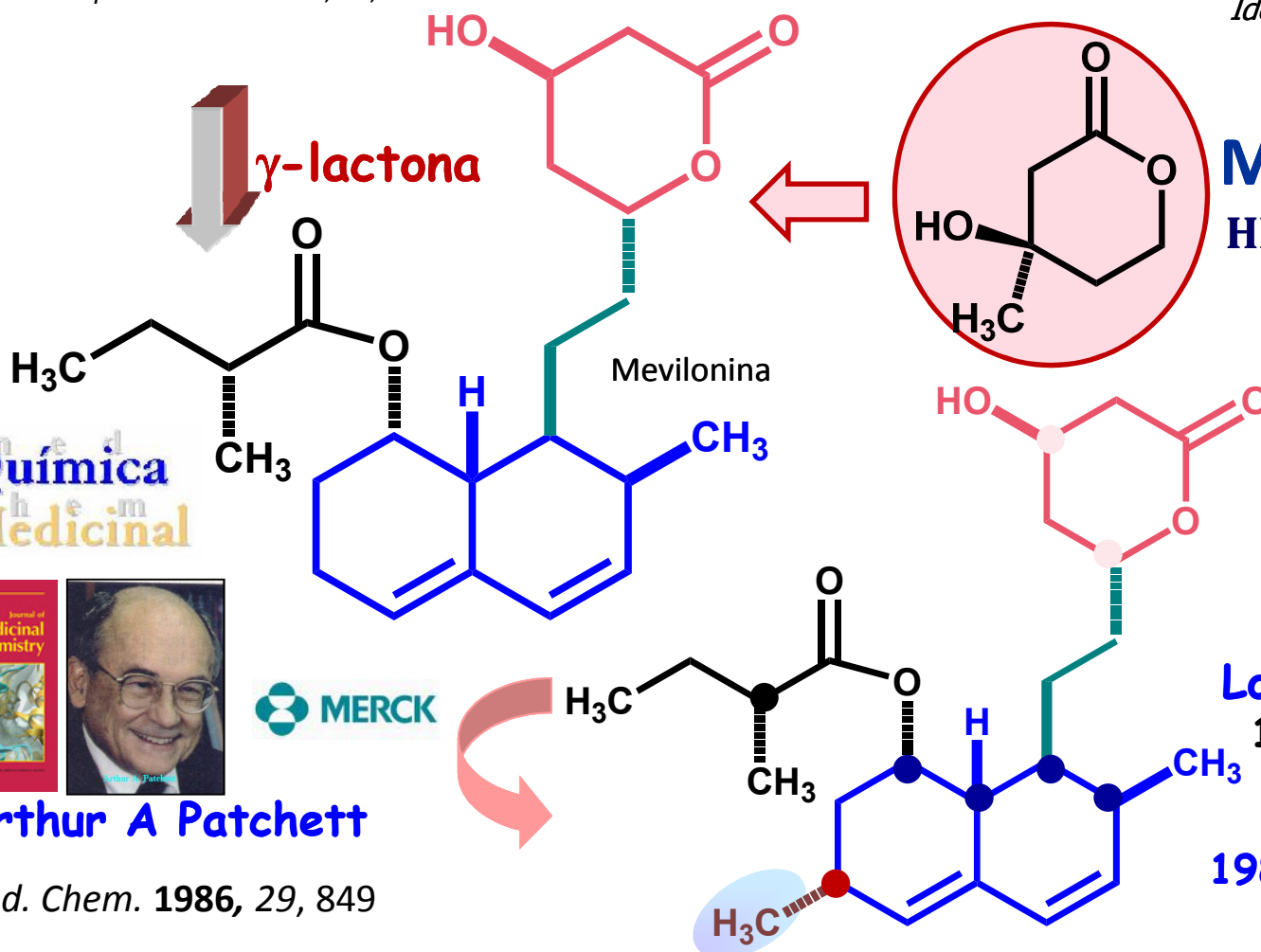
Estatinas



A.Endo, *J. Antibiot.* **1976**, 29, 1346
Penicillium citrinum
Idem, *Ibid*, **1979**, 32, 852
Monascus ruber
(compactina)

Similaridade molecular

Mevalolactona
HMG-CoA redutase



Lovastatin (MK-803)
1980 – Merck & Co.
Aspergillus terreus

1987 – MS&D (Mevacor[®])



Arthur A Patchett

J. Med. Chem. **1986**, 29, 849



3ª geração



atorvastatina
1991



AstraZeneca

rosuvastatina
2004

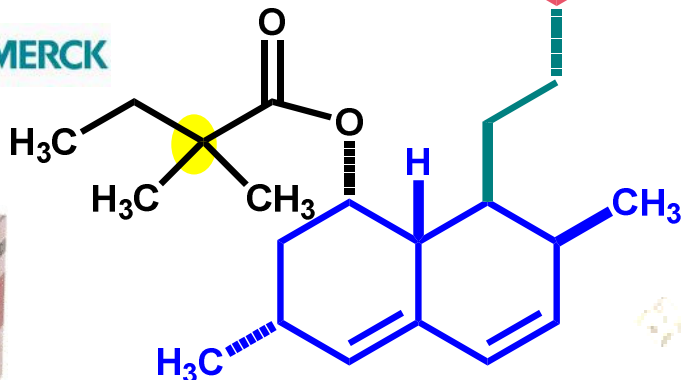
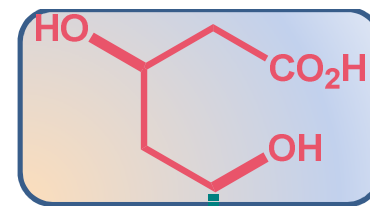


pitavastatina
2012 (BR)

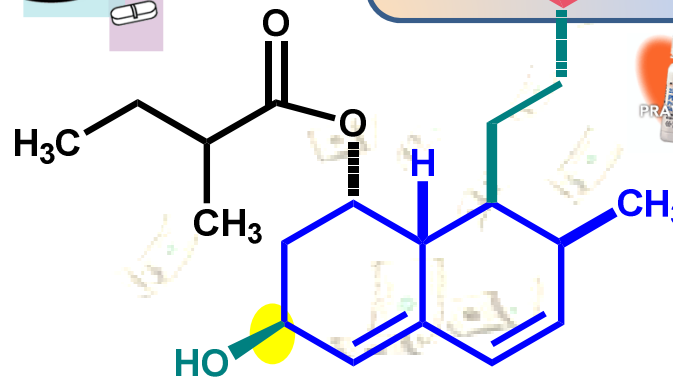
2ª geração



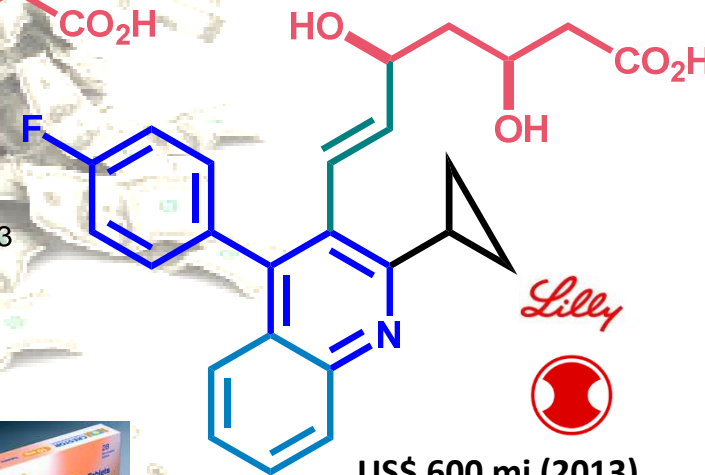
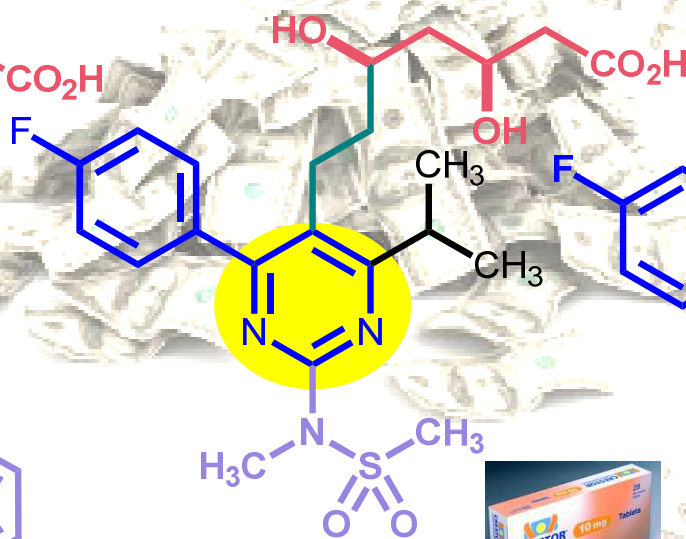
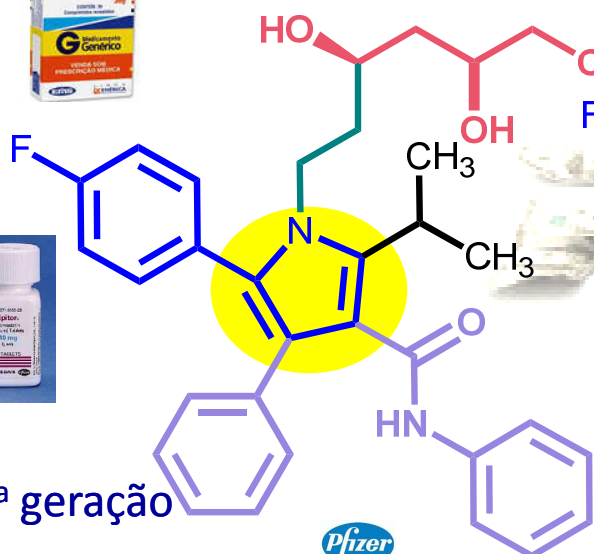
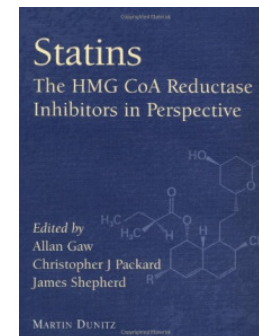
(2006)



simvastatina
1986



pravastatina
1988



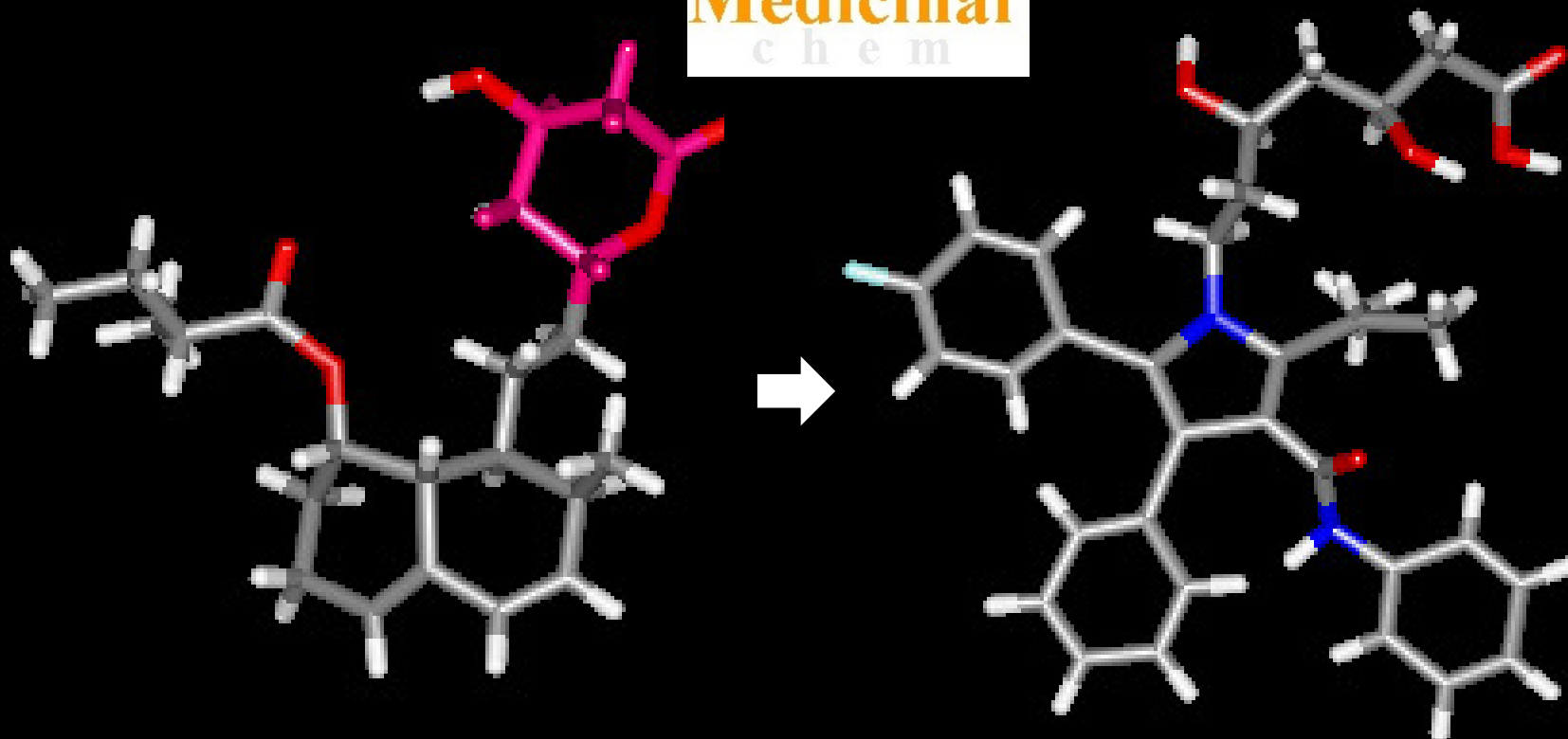
Lilly



US\$ 600 mi (2013)

O mercado mundial de estatinas foi estimado em US\$ 22 bilhões (2011)

Química
med
Medicinal
chem



Estatinas

Química
med
Medicinal
chem

atorvastatina

ácido (*N*-pirrol)-3,5-di-hidróxi-heptanóico

1991 → 1997



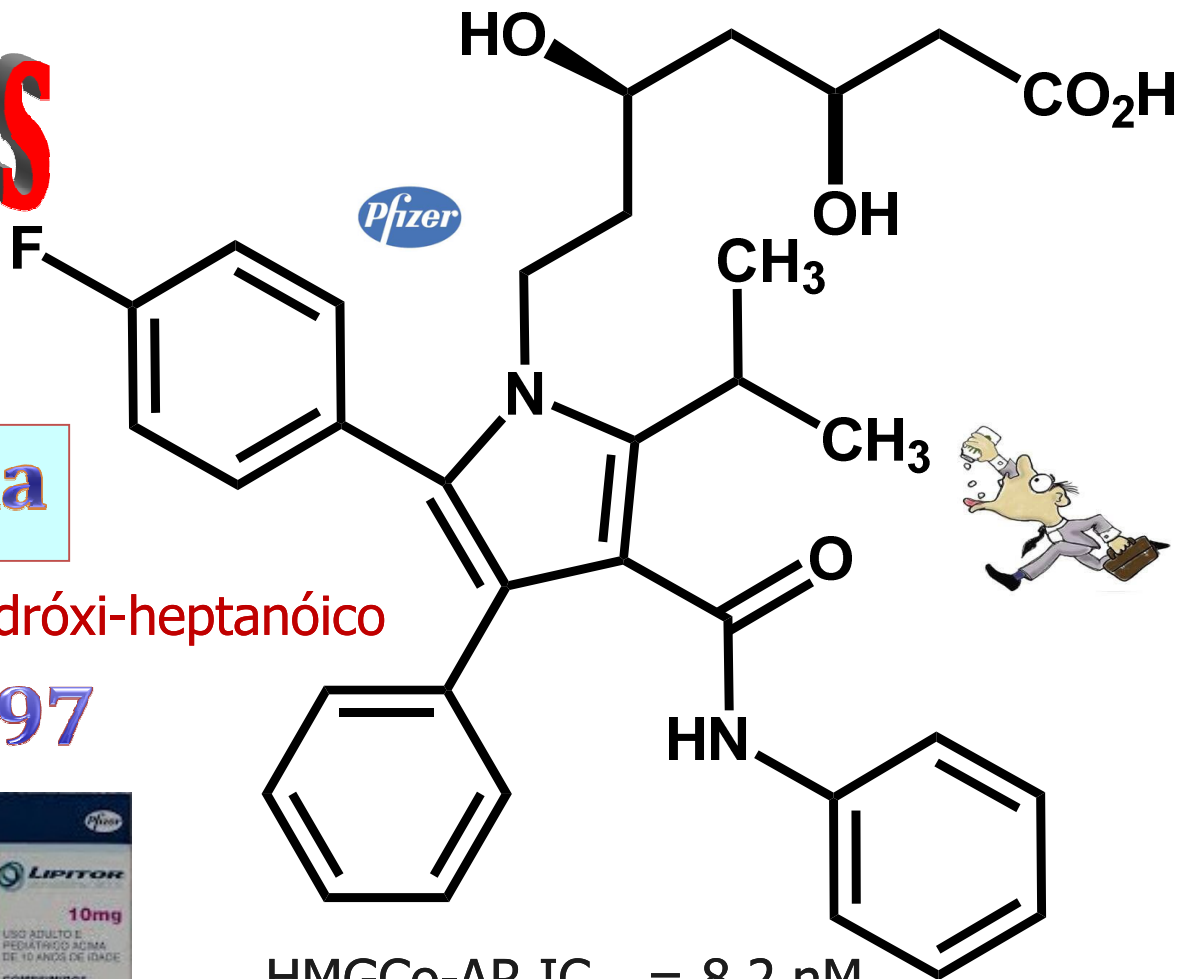
Bruce D Roth

2013 SCI Perkin Medal

B. D. Roth, *Progr. Med. Chem.* **2002**, *40*, 1-22

B. D. Roth, et al., *J. Med. Chem.* **1990**, *33*, 21-31

Warner-Lambert



HMGC_o-AR IC₅₀ = 8,2 nM

Biodisponibilidade=12%

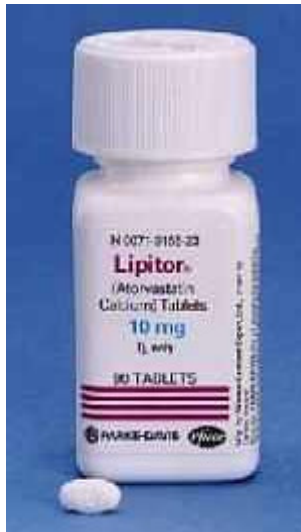
2005 – US\$ 13 bi; 2011 – US\$ 13,3 bi;

Síntese: *ca.* 200 toneladas/ano
ca. >> 45 milhões de pessoas (2005)



Total de Vendas = *ca.* US\$ 150 bilhões (1991-2011)

Total em vendas do Lipitor^R no período de 2001 a 2011



ANO DE VENDAS	EM BILHÕES (US)
2001	7,0
2002	8,6
2003	10,3
2004	12,0
2005	12,8
2006	13,0
2007	13,5
2008	13,8
2009	13,3
2010	13,3
2011	12,2
Total	119,2





1 February 2011

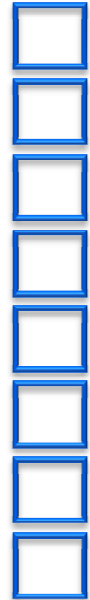


Pfizer to close UK research site

Drug maker Pfizer is to close its research and development (R&D) facility in Kent, which employs 2,400 people.



Universidade Federal do Rio de Janeiro



<http://www.bbc.co.uk/news/business-12335801>

Pfizer Co., Sandwich, UK

Debate sobre Big Pharma



Top-10 em faturamento (2013)

<u>Empresa</u>	Faturamento
Novartis	50,1
Pfizer	44,3
<u>Sanofi</u>	37,7
Merck	37,4
Roche	35,6
Glaxo Smith Kline	32,5
Astra Zeneca	30,2
Johnson & Johnson	28,9
<u>Teva</u>	24,4
Eli Lilly	22,4
TOTAL	343,5



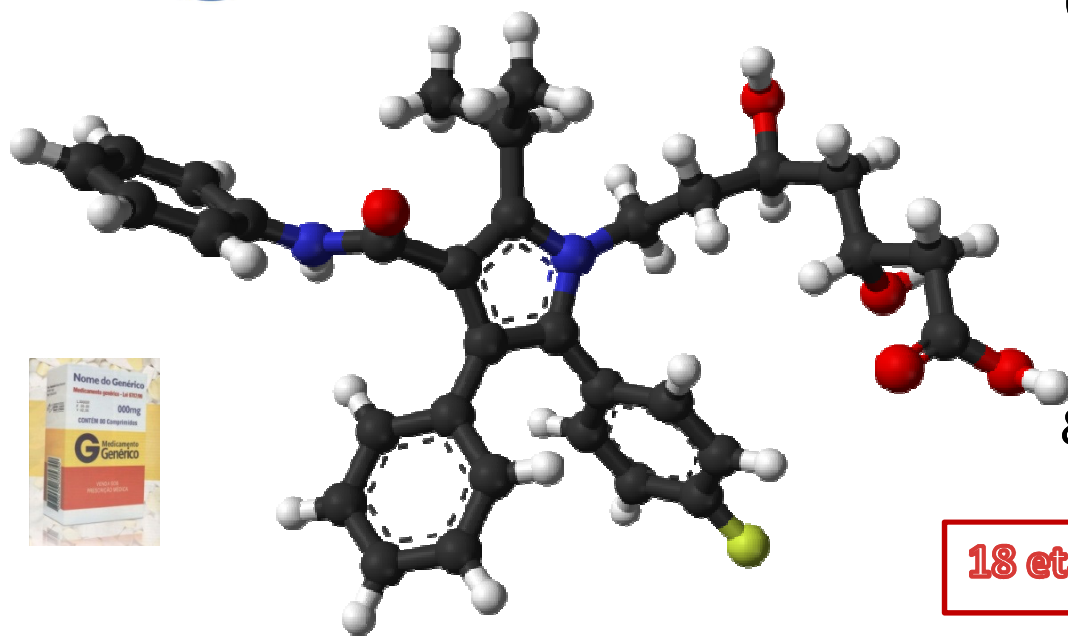
PIB US\$ 50,3 bi; < US\$ 50 bi = Uruguai, Bolívia, Paraguai, Costa Rica, Panamá,

Atorvastatina

sintetizada em 1985, por Bruce D. Roth,
na Parke-Davis Warner-Lambert Co.

Patent US 5273995 Pfizer (1991)

 **19 etapas; 5% rendimento**



O maior *bestseller* da história da indústria farmacêutica mundial

Vendas mundiais: US\$ >150 bilhões (1991-2011)



Estudo de rotas de síntese,
a partir de intermediários
primários de menor custo,
de fármacos genéricos:



Professor Luiz Carlos Dias
& Dr Adriano Siqueira Vieira
IQ, UNICAMP

18 etapas; 19% rendimento; 5g escala

• LC DIAS, AS VIEIRA, EJ BARREIRO, INPI
25/04/2011, Patente de Invenção,
PI1101952-2, Processo de obtenção de
atorvastatina cálcica utilizando novos
intermediários e atorvastatina assim obtida.

[Página Principal](#)

[O INCT-INOFAR](#)

[Equipe](#)

[Consultoria Científica](#)

[Grupos de Pesquisa](#)

[Pesquisadores](#)

[Annual Activities Report](#)

[Artigos](#)

[Publicações](#)

[Reuniões](#)

[Divulgação](#)



1 2 3 4 5 6 7 8 9

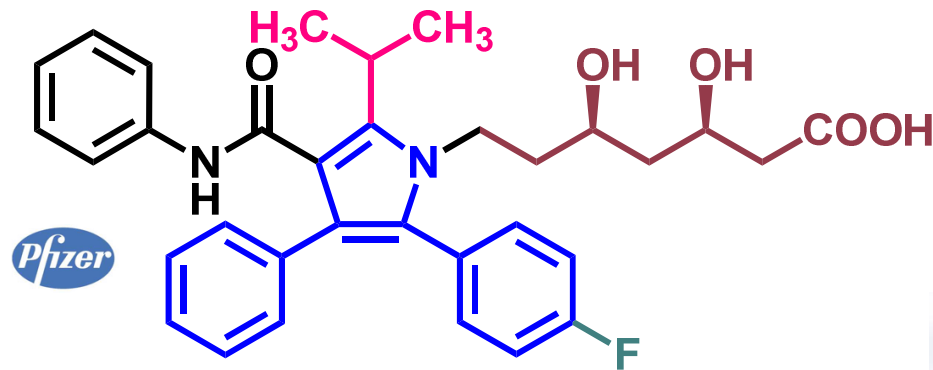
**INCT
INO FAR**
ANNUAL ACTIVITIES REPORT

VISITE O HOTSITE

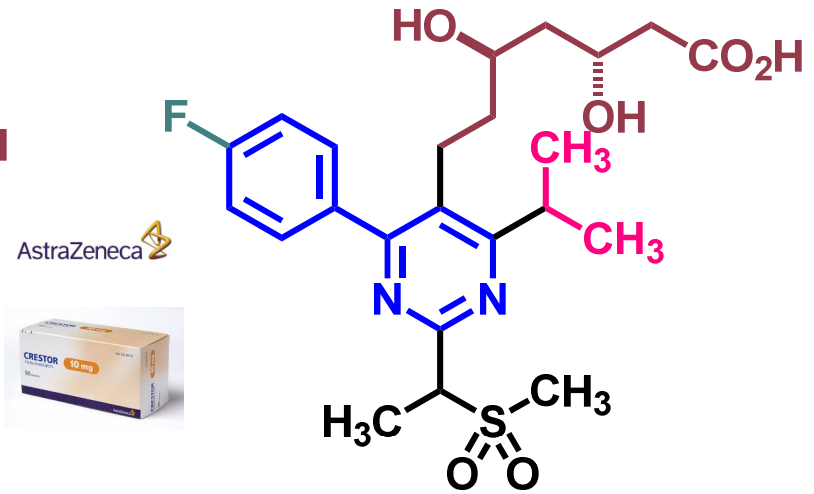
2012

Annual Activities Report 2012

Grupamento farmacofórico



atorvastatina

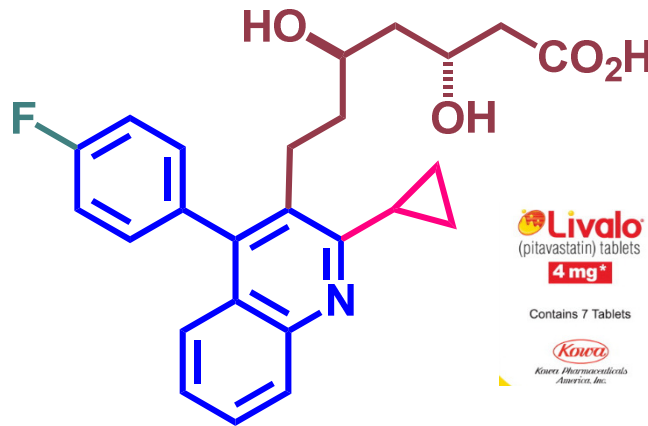


rosuvastatina

Estatinas



A classe mais valiosa de toda história dos medicamentos!



pitavastatina



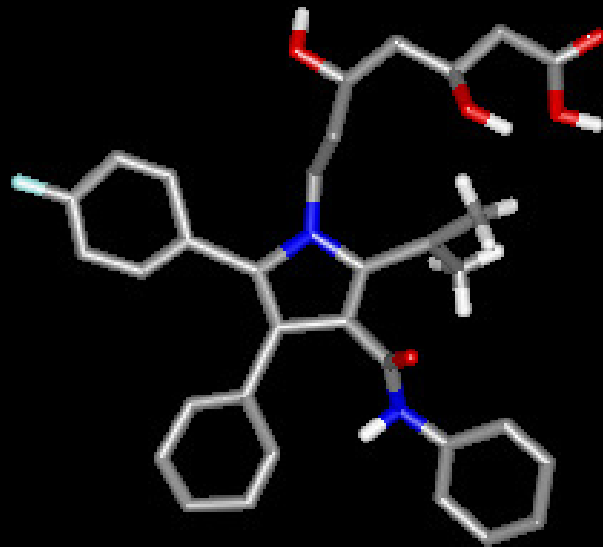
AstraZeneca

Livalo
(pitavastatin) tablets
4 mg*

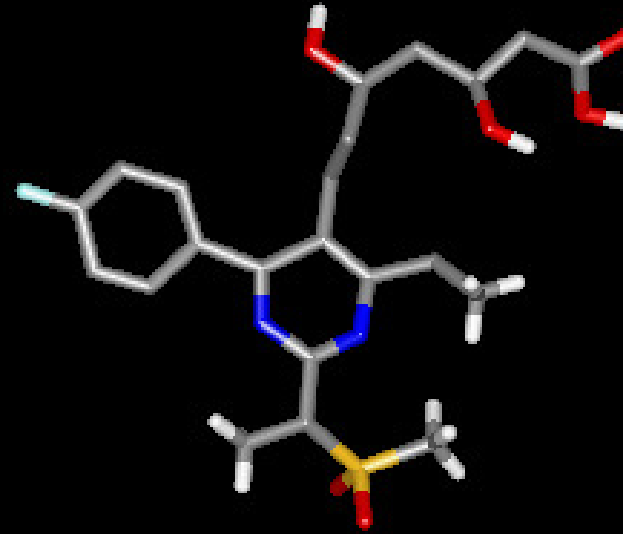
Contains 7 Tablets

Kowa
Kowa Pharmaceuticals
America, Inc.

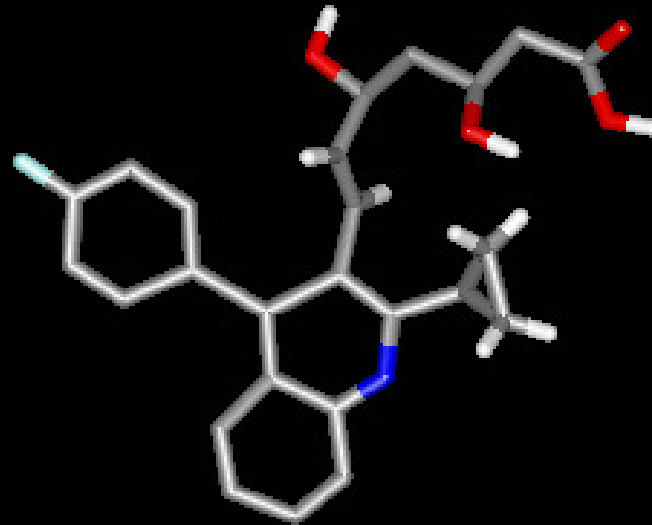
Química
med
Medicinal
chem



atorvastatina

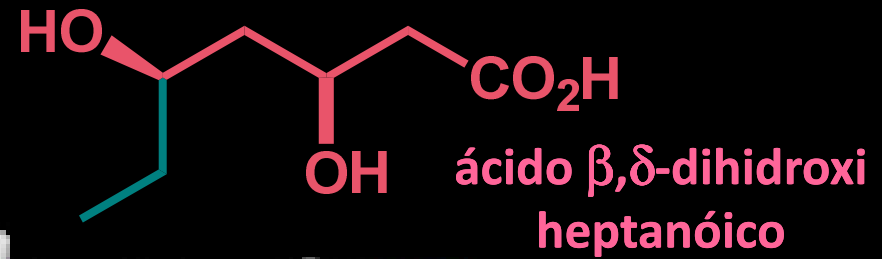


rosuvastatina

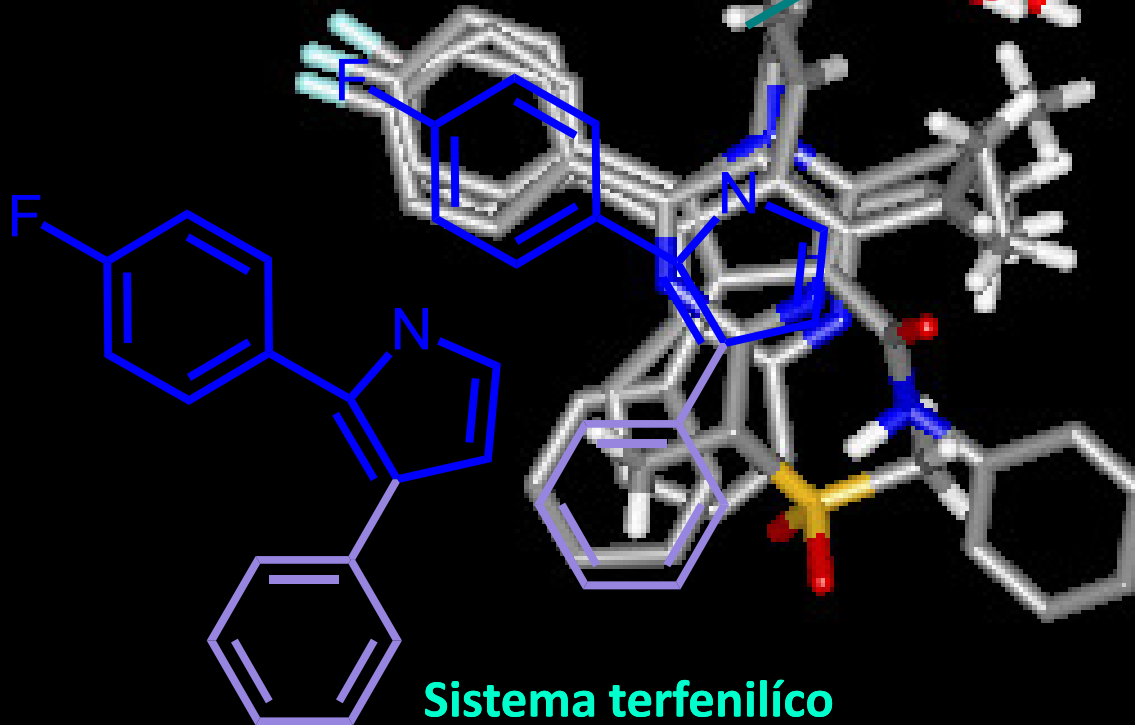


pitavastatina

Grupamento farmacofórico



Pontos farmacofóricos



Grupamento auxofórico

Bióforos



Emil Fischer
 1852-1919
1902
 E. Fischer, Ber. Dtsch.
 Chem. Ges. 1890, 23, 799



Paul Ehrlich
 1854-1915
1908

O paradigma de Ehrlich & Fischer



P. Ehrlich, *Chemotherapeutics: scientific principles, methods and results*. *Lancet* 1913, 2, 445



Conceito de composto-protótipo

É a primeira *substância* de uma série *congênere* – *i.e.* estruturalmente relacionada – com atividade em modelos farmacológicos validados *in vivo* - que pode vir a ser otimizado por modificações moleculares subsequentes, planejadas.

Química
med
Medicinal
chem



A Química Medicinal e o paradigma do composto-protótipo

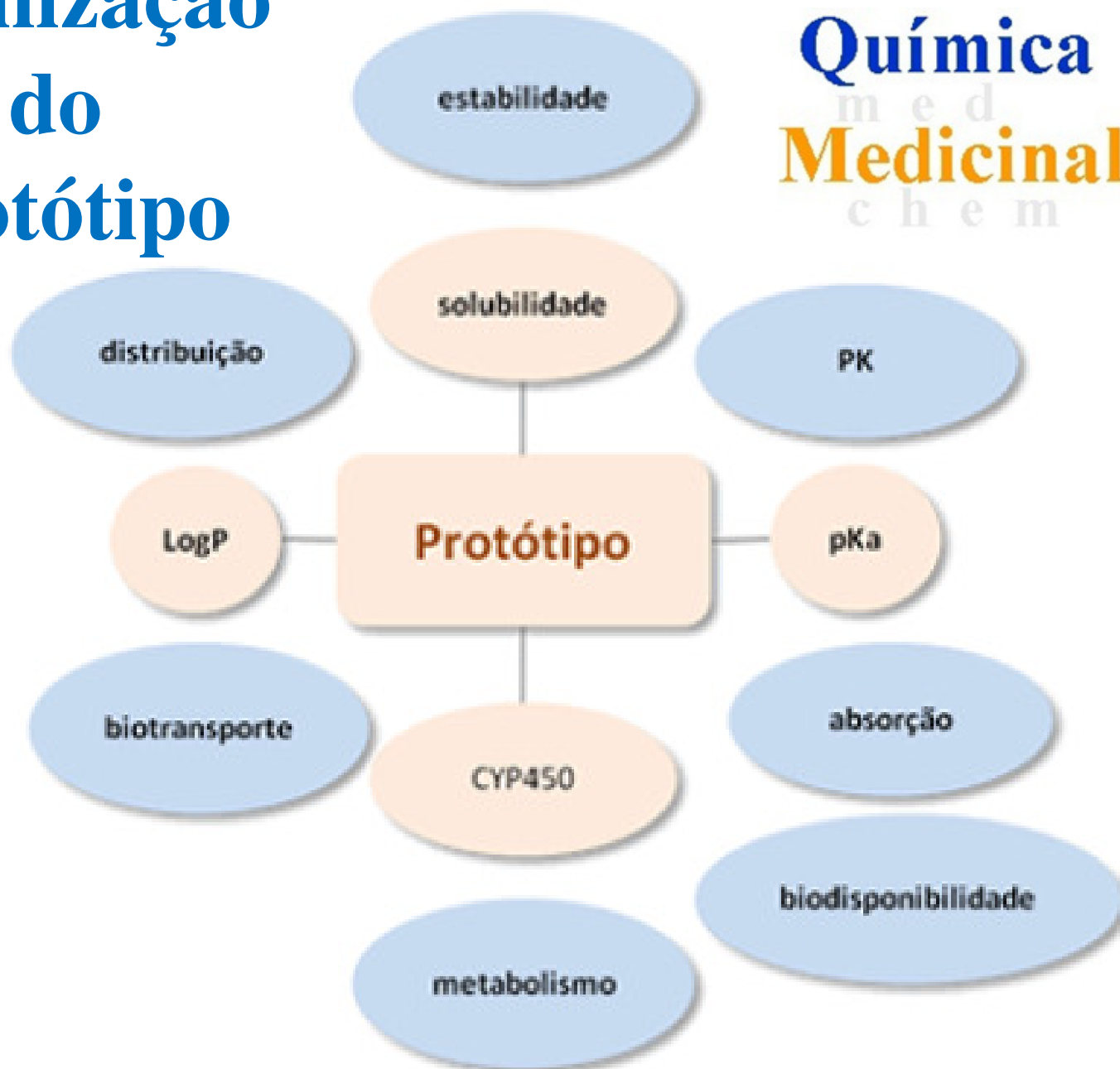
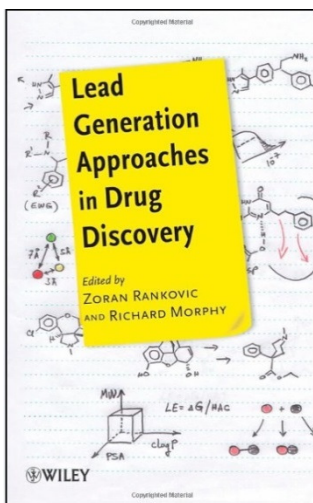
E. J. Barreiro *Rev. Virtual Quim.*, 2009, 1 (1), 18-26.

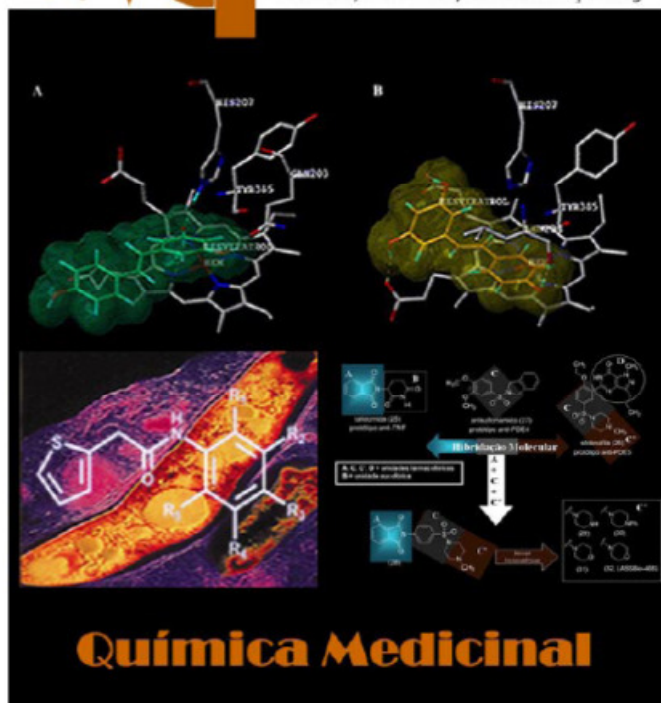
<http://www.uff.br/rvq>

Otimização do protótipo

Química
m e d
Medicinal
c h e m

Lead Optimization





O medicamento é instrumento essencial à preservação, manutenção e promoção da Saúde. O acesso ao medicamento representa um importante fator de inclusão social que depende da disponibilidade do fármaco – princípio ativo contido no medicamento e que em 85% dos casos é de origem sintética. Neste cenário, a importância do saber-fazer fármacos e medicamentos passa a representar um componente estratégico para o pleno exercício da soberania de nosso País. A universalização do acesso ao medicamento, para o cumprimento do preceito de nossa Carta Magna de 1988, quanto ao direito de todos os brasileiros e brasileiras à Saúde, depende, mais do que possa parecer, deste componente.

1. A inovação em fármacos: O processo de planejamento racional
2. O principal paradigma da química medicinal moderna: A descoberta do composto-protótipo
3. Novos compostos-protótipos descobertos no *Laboratório de Avaliação e Síntese de Substâncias Bioativas (LASSBio®)*

Artigo de Divulgação



A Química Medicinal e o paradigma do composto-protótipo

Barreiro, E. J.*

Rev. Virtual Quim., 2009, 1 (1), 18-26. Data de publicação na Web: 30 de Janeiro de 2009

<http://www.uff.br/rvq>



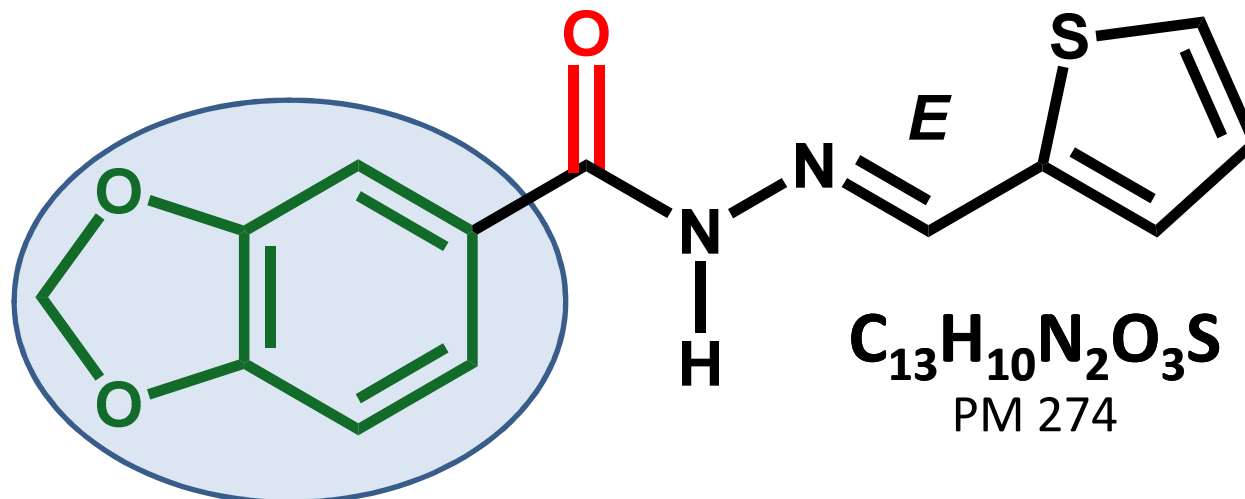
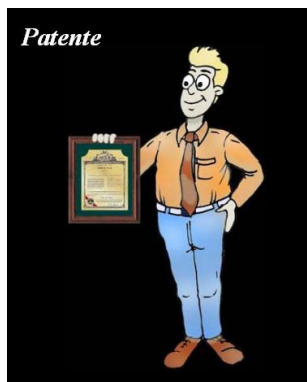
LASSBio-294

Novo protótipo de fármaco cardioativo*

*US Patent US7091238-15/08/2006

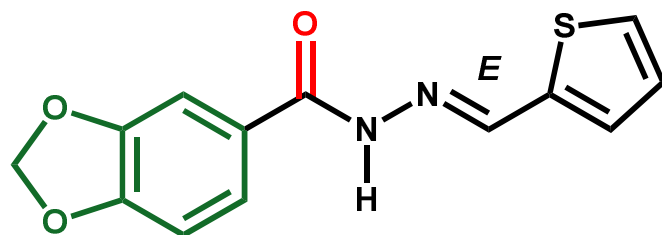
*European Patent EP1532140; WO-0078754

Thienylhydrazone with digitalis-like properties (positive inotropic effects)



- ✓ Estruturalmente simples; rota de síntese com >55% de rendimento global, empregando matéria-prima acessível; escalonável até 5,0 kg (18,2 M);
- ✓ Potentes propriedades inotrópicas positivas & vasodilatadoras; também neuroprotetoras; ativo por via oral; boa biodisponibilidade;
- ✓ Novo mecanismo farmacológico de ação: ligante de receptores adenosinérgicos;
- ✓ Sem citotoxicidade, genotoxicidade, nem toxicidade sistêmica (aguda e sub-aguda) em duas vias de administração (*p.o.* e *i.p.**) nas doses **1000 $\mu M/kg$** e **73 $\mu M/kg$** , respectivamente;

i.p.* = 2 vezes ao dia, durante 15 dias seguidos: ~100 vezes ED_{50} *in vivo***.



química nova



Quim. Nova, Vol. 25, No. 6B, 1172-1180, 2002

ESTRATÉGIA DE SIMPLIFICAÇÃO MOLECULAR NO PLANEJAMENTO RACIONAL DE FÁRMACOS: A DESCOBERTA DE NOVO AGENTE CARDIOATIVO

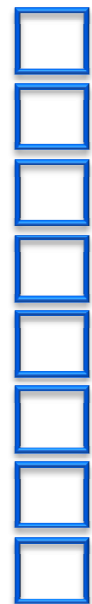
Eliezer J. Barreiro*

Departamento de Fármacos, Faculdade de Farmácia, Universidade Federal do Rio de Janeiro, Cidade Universitária, Ilha do Fundão, CP 68006, 21944-190 Rio de Janeiro - RJ

Recebido em 24/1/02; aceito em 17/4/02

STRATEGY OF MOLECULAR SIMPLIFICATION IN RATIONAL DRUG DESIGN: THE DISCOVERY OF A NEW CARDIOACTIVE AGENT. In this article are described examples of the successful use of molecular simplification strategy in the discovery of new drugs from bioactive natural products and synthetic compounds. The discovery of a new cardiotoxic derivative (37, 2-thienylidene-3,4-methylenedioxybenzoylhydrazine; LASSBio-294), efficiently synthesized from Brazilian natural product and structurally designed by molecular simplification of active pyridazinone compounds reported in the literature, is described. A brief description of the pharmacological profile of this new cardiotoxic lead-compound, belonging to the *N*-acylhydrazone (NAH) class, is also reported herein.

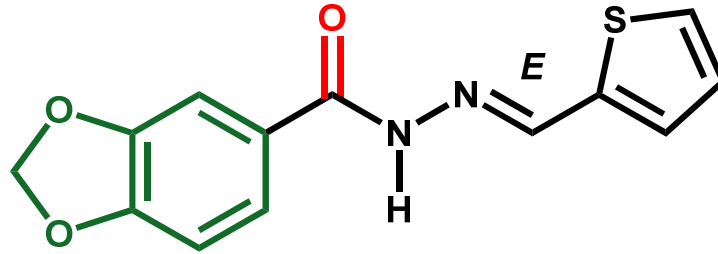
Keywords: new cardiotoxic derivative; bioactive *N*-acylhydrazone compound; LASSBio-294.



1. RC Braga, VM Alves, CAM Fraga, EJ Barreiro, V de Oliveira, CH Andrade, Combination of docking, molecular dynamics and quantum mechanical calculations for metabolism prediction of 3,4-methylenedioxybenzoyl-2-thienylhydrazone, *J. Mol. Model.*, **18**, 2065–2078 (2012).
2. RC Braga, ACB Tôrres, CB Persiano, RO Alves, CAM Fraga, EJ Barreiro, V de Oliveira, Determination of the cardioactive prototype LASSBio-294 and its metabolites in dog plasma by LC–MS/MS: Application for a pharmacokinetic study, *Journal of Pharmaceutical and Biomedical Analysis*, **55**, 1024-1030 (2011). (Times cited: 2)
3. A G M Fraga, L L da Silva, CAM Fraga, EJ Barreiro, CYP1A2-mediated biotransformation of cardioactive 2-thienylidene-3,4-methylenedioxybenzoylhydrazine (LASSBio-294) by rat liver microsomes and human recombinant CYP enzymes, *European Journal of Medicinal Chemistry*, **46** 349-355 (2011). (Times cited: 1)
4. DG Costa , JS da Silva, AE Kummerle, *et al.*, LASSBio-294, A Compound With Inotropic and Lusitropic Activity, Decreases Cardiac Remodeling and Improves Ca²⁺ Influx Into Sarcoplasmic Reticulum After Myocardial Infarction, *Am. J.Hypertension*, **23**, 1220-1227 (2010). (Times cited:3)
5. FCF Brito, AE Kummerle, C Lugnier , *et al.*, Novel thienylacylhydrazone derivatives inhibit platelet aggregation through cyclic nucleotides modulation and thromboxane A(2) synthesis inhibition, *Eur .J. Pharmacol.*, **638** , 5-12 (2010). (Times cited: 4)
6. EOCarneiro, CH Andrade, RC Braga, **et al.**, Structure-based prediction and biosynthesis of the major mammalian metabolite of the cardioactive prototype LASSBio-294, *Bioorg. Med. Chem. Lett.*, **20**, 3734-3736 (2010). (Times cited:4)
7. L Pol-Fachin, CAM Fraga, EJ Barreiro, *et al.*, Characterization of the conformational ensemble from bioactive *N*-acylhydrazone derivatives , *J. Mol. Graphics & Modelling*, **28**, 446-454 (2010).
8. G Zapata-Sudo, SL Pereira, HJV Beiral, *et al.*, Pharmacological Characterization of (3-Thienylidene)-3,4-Methylenedioxybenzoylhydrazide: A Novel Muscarinic Agonist With Antihypertensive Profile, *Am. J.Hypertension* ,**23**, 135-141 (2010). (Times cited: 2)



8. AE Kummerle, JM Raimundo, CM Leal, *et al.*, Studies towards the identification of putative bioactive conformation of potent vasodilator arylidene *N*-acylhydrazone derivatives , *Eur. J. Med. Chem.*, **44**, 4004-4009 (2009). (Times Cited: 16)
9. AG Silva, G Zapata-Sudo, AE Kummerle, *et al.*, Synthesis and vasodilatory activity of new *N*-acylhydrazone derivatives, designed as LASSBio-294 analogues, *Bioorg. Med. Chem*, **13**, 3431-3437 (2005). (Times Cited: 44)
10. H Gonzalez-Serratos, EFR Pereira, RZ Chang, *et al.*, The thienylhydrazone, (2'-thienylidene)3,4-methylenedioxybenzoylhydrazine (LASSBio-294), develops fatigue resistance and has a positive inotropic effect in mammalian skeletal muscle, *Biophys. J.*, **86**, 225A-225A Suppl. (S 2004).
11. G Zapata-Sudo, RT Sudo, PA Maronas, *et al.*, Thienylhydrazone derivative increases sarcoplasmic reticulum Ca²⁺ release in mammalian skeletal muscle, *Eur. J. Pharmacol.*, **470**, 79-85 (2003) (Times Cited: 4)
12. EJ Barreiro, Strategy of molecular simplification in rational drug design: The discovery of a new cardioactive agent , *Quim. Nova*, **25**, 1172-1180 (2002) (Times Cited: 14)
13. CLM Silva, F Noel, EJ Barreiro, Cyclic GMP-dependent vasodilatory properties of LASSBio 294 in rat aorta, *Br. J. Pharmacol.*, **135** 293-298 (2002) (Times Cited: 16)
14. H Gonzalez-Serratos , RZ Chang, EFR Pereira, *et al.*, A novel thienylhydrazone, (2-thienylidene)3,4-methylenedioxybenzoylhydrazine, increases inotropism and decreases fatigue of skeletal muscle, *J. Pharmacol. Exp. Ther.*, **299**, 558-566 (2001) (Times Cited: 14)
15. RT Sudo, G Zapata-Sudo, EJ Barreiro, The new compound, LASSBio 294, increases the contractility of intact and saponin-skinned cardiac muscle from Wistar rats, *Br. J. Pharmacol.*, **134**, 603-613 (2001) (Times Cited: 13)
16. PC Lima, LM Lima, KCM da Silva, PHO Léda, ALP Miranda, CAM Fraga, EJ Barreiro, Synthesis and analgesic activity of novel *N*-acylarylhydrazones and isosters, derived from natural safrole, *Eur. J. Med. Chem.*, **35**, 187-203 (2000). (Times cited: 70)



RESULTADOS RECENTES

Life Sciences 2014, 94, 30-36



N-acylhydrazone improves exercise intolerance in rats submitted to myocardial infarction by the recovery of calcium homeostasis in skeletal muscle

Jaqueline Soares da Silva^a, Sharlene Lopes Pereira^a, Rodolfo do Couto Maia^a, Sharon Schilling Landgraf^b, Celso Caruso-Neves^b, Arthur Eugen Kümmerle^c, Carlos Alberto Manssour Fraga^a, Eliezer Jesus Barreiro^a, Roberto Takashi Sudo^a, Gisele Zapata-Sudo^{a,*}

^a Programa de Desenvolvimento de Fármacos, Instituto de Ciências Biomédicas, Universidade Federal do Rio de Janeiro, Rio de Janeiro, RJ, Brazil

^b Instituto de Biofísica Carlos Chagas Filho, Universidade Federal do Rio de Janeiro, Rio de Janeiro, RJ, Brazil

^c Departamento de Química, Instituto de Ciências Exatas, Universidade Federal Rural do Rio de Janeiro, Seropédica, RJ, Brazil

LASSBio-294 na Web


[ChEMBL](#)
[Downloads](#)
[Malaria Data](#)
[ChEMBL-NTD](#)
[Kinase SARfari](#)
[GPCR SARfari](#)
[DrugEBIity](#)
[Web Services](#)
[FAQ](#)

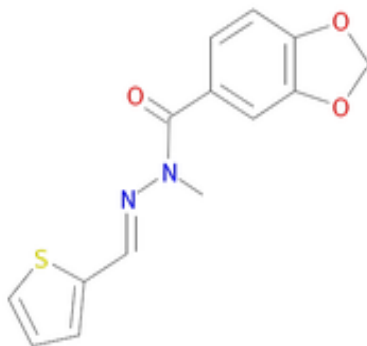
ChEMBL Statistics

- DB: ChEMBL_17
- Targets: 9,356

EBI > Databases > Small Molecules > ChEMBL Database > Compound Search > CHEMBL573324

Compound Report Card

Compound Name and Classification

Compound ID	CHEMBL573324	 <p>CHEMBL573324</p>
Compound Name		
ChEMBL Synonyms	LASSBio-785	
Max Phase	0	
Trade Names		
Molecular Formula	C14H12N2O3S	

Additional synonyms for CHEMBL573324 found using [NCI Chemical Identifier Resolver](#)

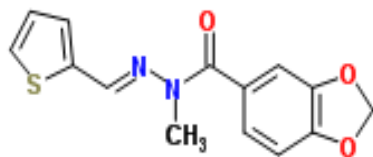
ChemSpider

Search and share chemistry

[About](#)
[More Searches](#)
[Web APIs](#)
[Help](#)

Search term: **KHKMSPFEDXGGFF-OVCLIPMQSA-N** (Found by InChIKey (full match)) [?](#)

N-Methyl-N'-[(E)-2-thienylmethylene]-1,3-benzodioxole-5-carbohydrazide



[?](#) [2D](#) [3D](#) [Save](#) [Zoom](#)

 - Double-bond stereo

ChemSpider ID: **9623943**

Molecular Formula: $C_{14}H_{12}N_2O_3S$

Average mass: 288.321686 Da

Monoisotopic mass: 288.056854 Da

▼ Systematic name

N-Methyl-N'-[(E)-2-thienylmethylene]-1,3-benzodioxole-5-carbohydrazide

▶ SMILES and InChIs

▶ Cite this record

Firefox | ChemBank registration - ejbarreiro@... | ChemBank - Welcome | ZINC00009109 | ZINC Is Not Commer... | 1-Click Docking

https://mcule.com/apps/1-click-docking/?structure=MCULE-4810413925

Mais visitados | Google | Universidade Federal d... | CNPq | LASSBIO - Faculdade... | De fármacos e suas de... | Portal dos Fármacos... | Intranet UFRI | Portal .periodicos. CA...

Target: 1a1c Proto-oncogene tyrosine-protein kinase Src

left click rotate
right click or scroll zoom
ctrl + left click translate
ctrl + right click slab and fog

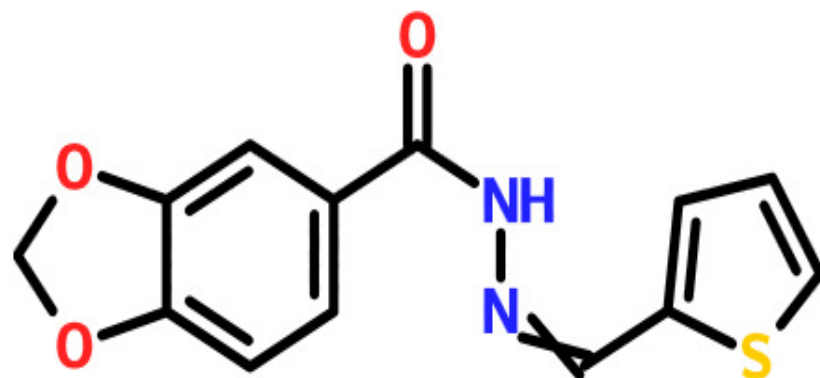
take screenshot
download PDB
proteinsurface
fullscreen

- Label all residues
- SER1
- ILE2
- GLN3
- ALA4
- GLU5
- GLU6
- TRP7
- TYR8
- PHE9
- GLY10
- LYS11
- ILE12
- THR13
- ARG14
- ARG15
- GLU16
- SER17
- GLU18
- ARG19
- LEU20
- LEU21
- LEU22
- ASN23
- ALA24
- GLU25

CPU 0%
Memória 40%
Disco 0B/s
Rede 762B/s

Google
Bloco de rascunho

Área de Trabalho | Bibliotecas | Eliezer J Barreiro | 11:48



MCULE-4810413925

Compound [Show structure](#)

InChIKey: YMOJHAPRGAZUPL-UHFFFAOYSA-N

SMILES: C(=O)(NN=CC1=CC=CS1)C1=CC=C2C(OC2)=C1

Formula: C₁₃H₁₀N₂O₃S

Amount	Price [?]	Purity (%)	Delivery time [?]	
1 mg	54 USD	90	8 working days	GET QUOTE
5 mg	76 USD	90	10 working days	GET QUOTE
10 mg	95 USD	90	8 working days	GET QUOTE

New customers get 10% discount! Limited time offer, valid until 31/03/2014.

[CUSTOM QUOTE](#)

[ADD TO COLLECTION](#)

[Share](#)

Actions

Downloads

Product availability

Basic properties

[1-Click Docking](#)

Predict the binding orientation and affinity of the ligand to a target.

[1-Click Scaffold Hop](#)

Find novel active ligands structurally different from the ligand.

[Toxicity checker](#)

Searching for substructures commonly found in toxic and promiscuous ligands.

OS CAÇADORES DE MOLÉCULAS EM ÇÃO



molécula
candidata
a fármaco

